

8  
2ej.

UNIVERSIDAD NACIONAL AUTONOMA DE MEXICO  
FACULTAD DE CIENCIAS



“RELACION ENTRE EL RADIO Y EL DIAMETRO  
DE STEINER EN GRAFICAS CONEXAS”

TESIS DE LICENCIATURA

Que para obtener el Titulo de  
M A T E M A T I C O  
p r e s e n t a

CONCEPCION ALIDA CASALE NUÑEZ

Director: Víctor Neumann Lara

México, 1992

FALLA DE ORIGEN



Universidad Nacional  
Autónoma de México



## **UNAM – Dirección General de Bibliotecas Tesis Digitales Restricciones de uso**

### **DERECHOS RESERVADOS © PROHIBIDA SU REPRODUCCIÓN TOTAL O PARCIAL**

Todo el material contenido en esta tesis está protegido por la Ley Federal del Derecho de Autor (LFDA) de los Estados Unidos Mexicanos (México).

El uso de imágenes, fragmentos de videos, y demás material que sea objeto de protección de los derechos de autor, será exclusivamente para fines educativos e informativos y deberá citar la fuente donde la obtuvo mencionando el autor o autores. Cualquier uso distinto como el lucro, reproducción, edición o modificación, será perseguido y sancionado por el respectivo titular de los Derechos de Autor.

# CONTENIDO

## CAPITULO I

Introducción .....	7
--------------------	---

## CAPITULO II

PRELIMINARES .....	11
Conceptos básicos .....	11
Teoremas básicos .....	16

## CAPITULO III

Definiciones .....	21
Arboles de Steiner .....	24
El teorema de M. A. Henning, O. R. Oellermann y H. C. Swart .....	33
Una aclaración al teorema 3.8 .....	41

## CAPITULO IV

La función $\psi(n)$ .....	63
Estimación de $\psi(n)$ para $n = 3$ .....	64
Estimación de $\psi(n)$ para $n = 4$ .....	67
Estimación de $\psi(n)$ para $n = 5$ .....	73

## CAPITULO V

El teorema de V. Neumann-Lara .....	85
	91

BIBLIOGRAFIA .....	93
--------------------	----

INDICE DE ENUNCIADOS .....	94
----------------------------	----

# CAPITULO I

## INTRODUCCION

Este trabajo está basado en el artículo "On the Radius and Steiner Diameter of a Graph" [6], y surge poco tiempo después de darse a conocer la publicación preliminar "Generalized Distance in Graphs" [3], en la cual los autores observan que el concepto de distancia en una gráfica conexa  $G$  puede definirse para conjuntos de más de dos vértices.

Sabemos que en una gráfica conexa la distancia entre dos vértices  $v$  y  $u$  es el mínimo número posible de aristas que tiene una subgráfica conexa de  $G$  que contenga tanto a  $v$  como a  $u$ .

En [3] se define la *distancia de Steiner*  $d(S)$  para un subconjunto  $S$  de los vértices de  $G$ , como el mínimo número posible de aristas que contiene una subgráfica conexa de  $G$  que contenga a  $S$ .

A partir de la definición de *distancia de Steiner*, se definen los conceptos de *n-excentricidad de Steiner*  $e_n(v)$  para un vértice  $v \in V(G)$ , *n-radio de Steiner de  $G$*   $rad_n G$  y *n-diámetro de Steiner de  $G$*   $diám_n G$  como sigue<sup>1</sup>:

<sup>1</sup>Denominaremos a lo largo de este trabajo a la *n-excentricidad de Steiner*, al *n-diámetro de Steiner de  $G$* , al *n-radio de Steiner de  $G$*  y al *n-centro de Steiner de  $G$* , como *n-excentricidad*, *n-diámetro*, *n-radio* y *n-centro*, respectivamente.

Para una gráfica conexa de orden  $p$  y un entero  $n$  con  $2 \leq n \leq p$ :

La  $n$ -excentricidad  $e_n(v)$  de un vértice  $v$  de  $G$  se define como el máximo valor de  $d(S)$  sobre todos los subconjuntos  $S$  de  $V(G)$  con  $v \in S$  y  $|S| = n$ .

La mínima  $n$ -excentricidad entre todos los vértices de  $G$  se denomina  $n$ -radio de  $G$   $\text{rad}_n G$ .

La máxima  $n$ -excentricidad de Steiner entre los vértices de  $G$  es el  $n$ -diámetro  $\text{diám}_n G$ .

Es bien conocido que para toda gráfica conexa  $G$  se tiene que  $\text{diám}_n G \leq 2 \text{rad}_n G$  (teorema 2.3). La relación  $\text{diám}_n G \leq 2 \text{rad}_n G$  para toda gráfica conexa de orden  $p \geq n$ ,  $n \geq 2$ , también se cumple (ver pág. 63), por lo cual el conjunto:

$$S_n = \left\{ \frac{\text{diám}_n G}{\text{rad}_n G}, \text{ tal que } G \text{ es conexa de orden } p \geq n \right\}$$

está acotado superiormente y como es no vacío puede definirse  $\psi(n) = \sup S_n$ .

En [6] se prueba que  $\psi(n) \geq \frac{2(n+1)}{2n-1}$ , que  $\psi(3) = \frac{8}{5}$ , se afirma que  $\psi(4) = \frac{10}{7}$  y se conjetura que  $\psi(n) = \frac{2(n+1)}{2n-1}$ . Sin embargo, la demostración que dan los autores para  $\psi(4) = \frac{10}{7}$  adolece de un error y sólo prueban que  $\psi(4) \geq \frac{10}{7}$ .

En este trabajo se demuestra que  $\psi(4) \leq \frac{45}{31}$ , que  $\psi(5) \leq \frac{51}{37}$  y que para toda  $n$ ,  $\psi(n) \leq 1 + \frac{2}{n}$ . Como se puede observar, el problema de encontrar el valor de  $\psi(n)$  queda abierto para  $n \geq 4$ .

A continuación, describiremos brevemente lo que trata cada uno de los apartados de este trabajo:

En el capítulo 2 se encuentran los conceptos básicos necesarios

para familiarizarse con lo que posteriormente se desarrollará, así como algunos teoremas cuyos resultados serán de utilidad.

En el capítulo 3 se define la distancia de Steiner, y los conceptos relacionados con ella; en la sección "Arboles de Steiner" se introduce este concepto y se demuestran algunos lemas necesarios para la comprobación del teorema de G. Chartrand, O. R. Oellermann, S. Tian y H. B. Zou, quienes conjeturan que se puede extender a todas las gráficas conexas, esto es, que para todo entero  $n \geq 3$  y toda gráfica conexa de orden  $p \geq n$  se tiene que  $\text{diám}_n G \leq \frac{n}{n-1} \text{rad}_n G$ . Lo anterior es desmentido por M. A. Henning, O. R. Oellermann y H. C. Swart, pues demuestran que es posible encontrar, para todo entero positivo  $n$ , una gráfica conexa  $G_n$  de orden  $p \geq n$  que cumple con la propiedad:  $\text{diám}_n G_n = \frac{2(n+1)}{2n-1} \text{rad}_n G_n$ . En [6] se construye para cada  $n$  una familia infinita de tales gráficas  $G_n$  y se afirma que todas tienen la propiedad, esta afirmación será refutada mediante un contraejemplo en la sección "Una aclaración al teorema 3.8".

En el capítulo 4 se define la función  $\psi(n)$ , y se demuestra que  $\psi(3) = \frac{8}{5}$ , que  $\psi(4) \leq \frac{45}{31}$ , y que  $\psi(5) \leq \frac{51}{37}$ .

Finalmente, en el capítulo 5, se demuestra el teorema de V. Neumann-Lara en donde se afirma que para toda  $n$ ,  $\psi(n) \leq 1 + \frac{2}{n}$ .

(Sólo una aclaración: con el fin de colocar las figuras del modo más conveniente al texto y de no dejar demasiado espacio en blanco, introduje algunos recuadros que no tienen nada que ver con el desarrollo del trabajo).

## CAPITULO II

### PRELIMINARES

Aunque la terminología utilizada a lo largo de este trabajo sea familiar para muchos, se proporcionarán todas las definiciones necesarias para la comprensión del mismo, ya que no se requiere de mayores antecedentes.

Se demostrarán también algunos teoremas que ayudan en la obtención de las pruebas subsecuentes

#### CONCEPTOS BASICOS <sup>2,3</sup>

Una gráfica  $G = (V, A, f)$  es un objeto matemático que consta de:

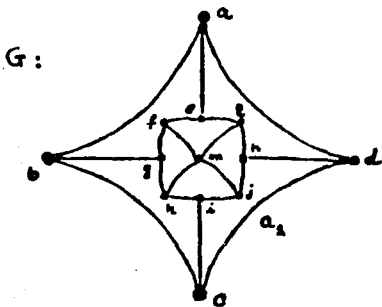
- i. Un conjunto  $V = V(G)$  cuyos elementos se llaman vértices de  $G$ .
- ii. Un conjunto  $A = A(G)$ , el conjunto de las aristas de  $G$ .
- iii. Una función  $f : A(G) \longrightarrow V(G)^{(2)}$ , la función de incidencia de  $G$ , que asocia a cada arista de  $G$  un par no ordenado de vértices, no necesariamente distintos de  $V(G)$ , los cuales son sus extremos.

Si  $G$  es una gráfica, representamos cada vértice  $v$  de  $V(G)$  por un punto del plano y cada arista  $a$  de  $A(G)$ , donde  $f(a) = \{u, v\}$ , por un

<sup>2</sup> Esta parte está basada, casi en su totalidad, en Introducción a la teoría de gráficas de Víctor Neumann Lara [7].

<sup>3</sup> El lector podrá encontrar en [1], [5], y [7] más información al respecto.

arco o línea que una al vértice  $v$  con el  $u$ .



$$V(G) = \{a, b, c, d, e, f, g, h, i, j, k, l, m\},$$

y por ejemplo,

$$f(a_1) = \{c, d\}$$

figura. I

Si  $a$  es una arista de  $G$  con extremos  $u$  y  $v$  puede ser denotada como  $uv$ .

Sean  $G = (V, A, f)$  y  $G' = (V', A', f')$  dos gráficas. Se dice que  $G'$  es subgráfica de  $G$  (en símbolos  $G' \leq G$ ) si  $V' \subseteq V$ ,  $A' \subseteq A$  y  $f(a') = f'(a')$  para toda arista  $a'$  de  $G'$ .

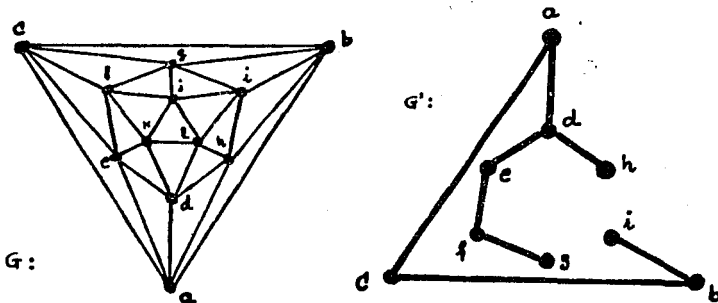


figura. II

La valencia  $\text{val}_G(v)$  de un vértice  $v$  de  $G$  es el número de veces que  $v$  figura como extremo de una arista en  $G$ .

Un camino en  $G$  es una sucesión  $\gamma := (v_0, a_1, v_1, \dots, a_n, v_n)$  de vértices y aristas, no necesariamente distintos, tal que los extremos de  $a_i$  son  $v_{i-1}$  y  $v_i$ . Es cerrado si coinciden el primer vértice con el último (sus extremos) y abierto si no coinciden.

Consideraremos el camino nulo, aquél que tiene longitud cero.

Un camino que no repite aristas se llama paseo.

Si el camino no repite vértices se denomina trayectoria.

Usualmente denotamos un camino por la letra griega  $\gamma$ , para ser más específicos si  $\gamma := vu$ -camino (paseo o trayectoria) querremos indicar que  $\gamma$  se inicia en el vértice  $v$  y termina en el  $u$ .

Si  $\gamma := (v_0, a_1, v_1, \dots, a_n, v_n)$  es un camino, éste queda determinado por la sucesión de vértices  $(v_0, v_1, \dots, v_n)$  en la cual dos vértices consecutivos son siempre adyacentes.

Un  $vu$ -paseo (resp.  $vu$ -trayectoria) se denomina cegado si usa todas las aristas de  $G$  que inciden en  $u$  (resp. todos los vértices adyacentes a  $u$ ).

Un paseo euleriano en una gráfica  $G$  es un paseo que utiliza todas las aristas de  $G$ .

Un ciclo es un paseo cerrado que no repite vértices, salvo el primero que sólo se repite al final.

Si  $\gamma$  es una trayectoria abierta, el interior de  $\gamma$  (en símbolos  $\overset{\circ}{\gamma}$ ) es la trayectoria que se obtiene quitando los vértices extremos de  $\gamma$  y las aristas incidentes en ellos.

Una gráfica conexa<sup>4</sup>  $G$  es aquella en la cual encontramos siempre, para cualquier par de vértices de  $V(G)$ , una trayectoria que los una.

Un bosque  $B$  es una gráfica sin ciclos (gráfica acíclica).

<sup>4</sup>A lo largo de todo este trabajo consideraremos a  $G$  como una gráfica conexa y finita.

Un árbol  $T$  es una gráfica acíclica y conexa. Los vértices de valencia uno en  $T$  se llaman *vértices terminales* y constituyen el conjunto de vértices terminales de  $T$  denotado por  $\text{Ter}(T)$ .  
 $(\text{Ter}(T) = \{v \in V(T), \text{tal que } v \text{ es vértice terminal}\})$ .

Una gráfica  $G$  es *bipartita* si existe una partición de  $V$  en  $\{V_1, V_2\}$  tal que toda arista de  $G$  es una  $V_1V_2$ -arista, esto es, una arista con un extremo en  $V_1$  y otro en  $V_2$ .

Si  $M$  y  $N$  son dos conjuntos ajenos con  $|M| = m$  y  $|N| = n$ , la gráfica  $(V = M \cup N, A, f)$  donde  $A = \{uv, \text{tal que } u \in M, \text{ y } v \in N\}$  y  $f(u, v) = \{u, v\}$  se denota por  $K_{m,n}$  y se denomina *gráfica bipartita completa*.

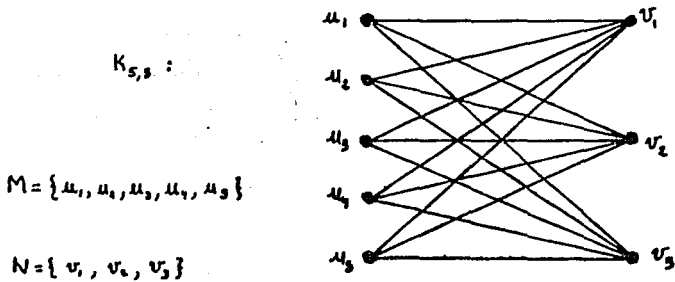


figura. 111

Si  $G$  es una gráfica conexa y  $v, u \in V(G)$  definimos la *distancia* en  $G$  entre los vértices  $u$  y  $v$   $d_G(u, v)$  (o  $d(u, v)$ ), como la mínima de las longitudes correspondientes a los  $uv$ -caminos en  $G$ .

Esta función satisface:

- i.  $d_G(u, v) \geq 0$  para todos los vértices  $v, u$  en  $V$ .  
 $d_G(u, v) = 0$  si y sólo si  $v = u$ .
- ii.  $d_G(u, v) = d_G(v, u)$  (simetría).

iii.  $d_G(u, v) + d_G(v, \xi) \geq d_G(u, \xi)$  (desigualdad del triángulo).

Y por lo tanto es efectivamente una distancia.

Podemos entonces definir lo siguiente:

La *excentricidad* de un vértice  $v$  de  $G$ ,  $e_G(v)$  como:

$$\max_{u \in V(G)} d(u, v)$$

El *radio* de  $G$ ,  $\text{rad } G$  como:

$$\min_{v \in V(G)} \left\{ e_G(v) \right\}$$

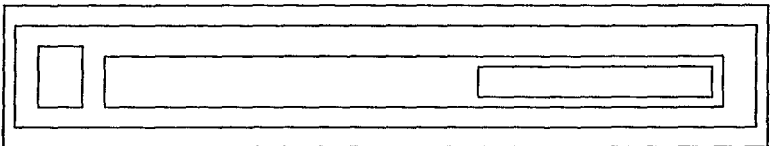
El *diámetro* de  $G$ ,  $\text{diám } G$  como:

$$\max_{v \in V(G)} \left\{ e_G(v) \right\}$$

El *centro*  $C(G)$  de  $G$  es la subgráfica de  $G$  inducida por aquellos vértices  $v$  con la propiedad de que  $e_G(v) = \text{rad } G$ . También se considera  $C(G) := \{v \in V(G), \text{ tales que } e_G(v) = \text{rad } G \}$ .

Es conocido también el hecho de que si  $H$  es una subgráfica de una gráfica conexa  $G$  y  $v$  es un vértice de  $G$ , entonces la *distancia* de  $v$  a  $H$ , denotada por  $d(v, H)$  o  $d_G(v, H)$ , es la distancia más corta de  $v$  a algún vértice de  $H$ .

El número de aristas de una gráfica  $G$  se denomina *tamaño* de  $G$  y se denota por  $q(G)$ .



**2.1 Teorema**

Sea  $P$  un paseo cegado no nulo en  $G$ :

*i.* Si  $G$  es acíclica,  $P$  termina en un vértice de valencia uno.

*ii.* Si todo vértice de  $G$  tiene valencia par entonces  $P$  es cerrado.

**Demostración:**

*i.* Sea  $P$  un  $uw$ -paseo cegado no nulo en  $G$ . Como  $G$  es acíclica,  $P$  está necesariamente en una componente conexa  $T$  de un bosque, y ésta es un árbol, por lo tanto  $P$  es una trayectoria, pues si repitiera vértices se formaría un ciclo en  $G$  lo cual es imposible. En consecuencia si  $P$  no termina en un vértice  $w$  de valencia uno no estaría utilizando todas las aristas que inciden en  $w$ , lo cual no puede suceder por ser  $P$  cegado.  $\square$

*ii.* Esto es claro ya que si  $P$  se inicia en un vértice  $u$ , a cualquier vértice que lleguemos, como tiene valencia par, necesariamente tendremos que salir, de tal manera que el único vértice del cual se pueden utilizar todas las aristas incidentes en él y al que podamos llegar sin tener que volver a salir nuevamente es  $u$ , por lo tanto  $P$  es cerrado.  $\square$

**2.2 Teorema**

El número de aristas de un árbol  $T$  es igual al número de vértices menos uno.

**Demostración:**

Sea  $n$  el número de vértices de  $T$ , procederemos por inducción

<sup>5</sup> Nos hemos basado fundamentalmente para esta parte en [7].

sobre  $n$ .

Si  $n = 1$  el resultado es obvio.

Supongamos válida la afirmación para  $n \leq k$ .

Sea  $n = k + 1$ , por el teorema anterior (inciso 1),  $T$  tiene un vértice  $u$  de valencia uno. Es claro que  $T - \{u\}$  es un árbol con una arista menos que  $T$  y  $k$  vértices, por lo cual, el número de aristas de  $T - \{u\}$  es  $k - 1$ . Luego  $T$  tiene  $k$  aristas.  $\square$

### 2.3 Teorema

Si  $G$  es una gráfica conexa de orden  $p \geq 2$ , entonces:

$$\text{diám}_2 G \leq 2 \text{rad}_2 G$$

Demostración:

Sean  $v, u \in V(G)$ , tales que  $d(v, u) = \text{diám}_2 G$ . (1)

Sea  $x \in V(G)$  tal que  $e_2(x, G) = \text{rad}_2 G$ ,

entonces, para cualquier vértice  $w \in V(G)$ , tenemos que,

$$d(x, w) = d(w, x) \leq e_2(x, G) = \text{rad}_2 G, \quad (2)$$

y por la desigualdad del triángulo:

$$d(u, v) \leq d(u, x) + d(x, v), \quad (3)$$

por (1), (2) y (3) obtenemos:

$\text{diám}_2 G \leq \text{rad}_2 G + \text{rad}_2 G$ , o lo que es lo mismo,  $\text{diám}_2 G \leq 2 \text{rad}_2 G$ ,

que es lo que se quería demostrar.  $\square$

### 2.4 Teorema

Sea  $G = (V, A, \varphi)$ ,  $G$  es conexa si y sólo si para toda partición  $\{V_1, V_2\}$  de  $V$ ,  $G$  contiene  $V_1 V_2$ -aristas.

Demostración:

→ Supongamos que  $G$  es conexa y que existe una partición  $\{V_1, V_2\}$

de  $V$  tal que  $G$  no contiene  $V_1V_2$ -aristas. Sean  $v \in V_1$  y  $u \in V_2$ , como no existen  $V_1V_2$ -aristas, tampoco existe una trayectoria en  $G$  que una  $v$  con  $u$ , lo cual contradice la conexidad de  $G$ .  $\square$

$\leftarrow$  Sean  $u_0, v \in V(G)$ , sin pérdida de generalidad, supondremos que  $u_0 \neq v$ .

Sea  $(\Gamma_1, X_1)$  una partición de  $V(G)$ , donde  $\Gamma_1 = \{u_0\}$  y  $X_1 = V(G) \setminus \{u_0\}$ . Por hipótesis existe una  $\Gamma_1X_1$ -arista  $a_1 = u_0u_1$  en  $G$ , donde  $u_1 \in X_1$ .

Si  $u_1 = v$  ya terminamos, si no, sea  $(\Gamma_2, X_2)$  otra partición de  $V(G)$ , donde  $\Gamma_2 = \{u_0, u_1\}$  (nótese que la subgráfica inducida por  $\Gamma_2$  es conexa), y  $X_2 = V(G) \setminus \{u_0, u_1\}$ ; nuevamente, existe una  $\Gamma_2X_2$ -arista  $a_2 = u_1u_2$  ( $i \in \{0, 1\}$ ) en  $G$  y  $u_2 \in X_2$ , si  $u_2 = v$  ya acabamos, si no, tomamos otra partición  $(\Gamma_3, X_3)$  donde  $\Gamma_3 = \{u_0, u_1, u_2\}$  (nótese nuevamente, que la subgráfica inducida por  $\Gamma_3$  es conexa), y  $X_3 = V(G) \setminus \Gamma_3 \dots$

Como  $G$  es finita, en algún momento tendremos  $\Gamma_k$  conexo y una  $\Gamma_k v$ -arista, entonces la gráfica inducida por  $\Gamma_k \cup \{v\}$  es conexa y contiene tanto a  $u_0$  como a  $v$  y por lo tanto existe una trayectoria de  $u_0$  a  $v$ .

Lo anterior indica que para cualquier par de vértices en  $V(G)$  existe una trayectoria que los une y por lo tanto  $G$  es conexa.  $\square$

## 2.5 Teorema [Euler]

Si  $G$  es una gráfica conexa, no trivial, entonces  $G$  posee un paseo euleriano cerrado si y sólo si todos los vértices de  $G$  tienen valencia par.

**Demostración:**

i. Supongamos que  $G$  tiene un paseo euleriano cerrado  $\Pi$  con origen  $O$ . Si se orientan las aristas de  $G$  según aparecen en  $\Pi$ , se observa que para cualquier vértice  $u$  de  $G$ : si  $u \neq O$ , cada vez que se entra a  $u$ , al recorrer  $\Pi$ , se sale de  $u$  inmediatamente después, esto es, a  $u$  entra exactamente el mismo número de flechas que sale, así, la valencia de  $u$  es par.

El caso  $u = O$  puede probarse de modo análogo. Se sigue pues, que todas las valencias de  $G$  son pares.

ii. Supongamos ahora que todas las valencias de  $G$  son pares.

Considérese un paseo cegado  $\Pi$  a partir de  $O$ . Por el teorema 2.1,  $\Pi$  es cerrado. Elijamos  $\Pi$  de longitud máxima: mostraremos que  $\Pi$  es euleriano. Supongamos que no lo fuera y considérese la gráfica  $G_1 = G - A(\Pi)$ . Obsérvese que todos los vértices de  $G_1$  tienen valencia par. Por el teorema 2.4,  $G_1$  contiene una arista  $a$  con al menos uno de sus extremos en  $V(\Pi)$ . Esto es claro si  $V(\Pi) = V(G)$ , pero si  $V(\Pi) \neq V(G)$ , también por el teorema 2.4,  $G$  contiene una  $V(\Pi)(V(G) - V(\Pi))$ -arista  $a$ .

Sea  $u$  uno de los extremos de  $a$  perteneciente a  $V(\Pi)$  y consideremos un paseo cerrado  $\Pi_1$  en  $G_1$  con origen (y final) en  $u$  y cuya primera arista sea  $a$  ( $\Pi_1$  existe por el teorema 2.1 inciso ii). Construyamos ahora un nuevo paseo cerrado como sigue: recórrase  $\Pi$  hasta llegar por primera vez a  $u$ ; recórrase en seguida  $\Pi_1$  (con lo cual regresamos a  $u$ ) y continúese  $\Pi$  hasta su término. Este nuevo paseo es más largo que  $\Pi$ , lo cual está en contradicción con la maximalidad de  $\Pi$ , y por lo tanto el teorema se sigue.  $\square$

## CAPITULO 3

### DEFINICIONES<sup>6</sup>

El hecho de considerar la distancia entre dos vértices  $u$  y  $v$  en una gráfica conexa  $G$  como el mínimo número de aristas que tiene una subgráfica conexa de  $G$  que contenga tanto a  $u$  como a  $v$ , sugiere una generalización de este concepto. En [3] se define la distancia de Steiner como sigue:

Sea  $G$  una gráfica conexa y  $S$  un conjunto no vacío de vértices de  $G$ , entonces:

La *distancia de Steiner*  $d(S)$  es el mínimo número posible de aristas que tiene una subgráfica conexa de  $G$  cuyo conjunto de vértices contenga a  $S$ .

También, se define en [3] lo siguiente:

Para una gráfica conexa de orden  $p$  y un entero  $n$  con  $2 \leq n \leq p$ :

La  *$n$ -excentricidad de Steiner*  $e_n(v)$  de un vértice  $v$  de  $G$  es el máximo valor de  $d(S)$  sobre todos los subconjuntos

$S$  de  $V(G)$  con  $v \in S$  y  $|S| = n$ :

$$e_n(v) = \max_{\substack{v \in S \\ |S| = n}} d(S)$$

<sup>6</sup>El lector podrá encontrar en [2], [3], [4], [6] y [8] más información relacionada con el presente trabajo.

La mínima  $n$ -excentricidad de Steiner entre todos los vértices de  $G$  se denomina  $n$ -radio de Steiner de  $G$ ,  $\text{rad}_n G$ :

$$\text{rad}_n G = \min_{v \in V(G)} (e_n(v)), \text{ esto es:}$$

$$\text{rad}_n G = \min_{v \in V(G)} \left( \max_{\substack{S \in \mathcal{S} \\ |S|=n}} d(S, v) \right)$$

La máxima  $n$ -excentricidad de Steiner entre los vértices de  $G$  es el  $n$ -diámetro de Steiner de  $G$ ,  $\text{diám}_n G$ :

$$\text{diám}_n G = \max_{v \in V(G)} (e_n(v)), \text{ esto es:}$$

$$\text{diám}_n G = \max_{v \in V(G)} \left( \max_{\substack{S \in \mathcal{S} \\ |S|=n}} d(S, v) \right)$$

El  $n$ -centro de Steiner  $C_n(G)$  de  $G$  es la subgráfica inducida por aquellos vértices  $v \in V(G)$  con  $e_n(v) = \text{rad}_n G$ . También consideramos:  $C_n(G) := \{v \in V(G), \text{ tales que } e_n(v) = \text{rad}_n G\}$ .

Se puede observar que la 2-excentricidad, el 2-radio, el 2-diámetro y el 2-centro, coinciden con la excentricidad, el radio, el diámetro y el centro usuales.

Consideremos como ejemplo la gráfica de la figura 1.

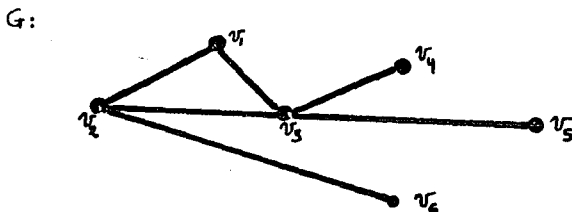


figura 1

Sea  $n = 4$ , obtendremos primero las 4-excentricidades de cada uno de los vértices  $v_i \in V(G)$ , para esto debemos fijarnos en todos los posibles subconjuntos  $S_i$  de  $V(G)$  tales que  $v_i \in S_i$  y  $|S_i| = 4$ , y posteriormente en la distancia de Steiner para cada uno de los conjuntos  $S_i$ , la mayor de éstas será la excentricidad de  $v_i$ .

En nuestro ejemplo:

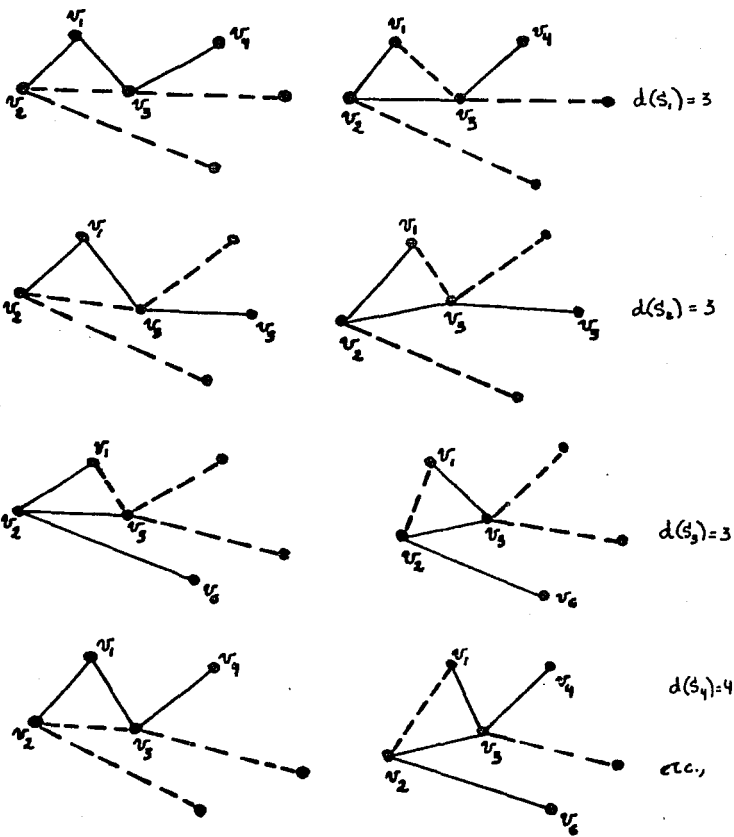


figura 1a

$$\begin{aligned}
\text{donde: } S_1 &= \{v_1, v_2, v_3, v_4\}, & S_2 &= \{v_1, v_2, v_3, v_5\}, \\
S_3 &= \{v_1, v_2, v_3, v_6\}, & S_4 &= \{v_1, v_2, v_4, v_5\}, \\
S_5 &= \{v_1, v_2, v_4, v_6\}, & S_6 &= \{v_1, v_3, v_4, v_5\}, \\
S_7 &= \{v_1, v_3, v_4, v_6\}, & S_8 &= \{v_1, v_4, v_5, v_6\}, \text{ etc.},
\end{aligned}$$

y donde las líneas continuas junto con los vértices nombrados constituyen algunas de las posibles subgráficas  $G'$  de  $G$ , tales que  $S_i \subseteq V(G')$ .

Así:  $e_4(v_1) = 4$ ,  $e_4(v_2) = 4$ ,  $e_4(v_3) = 3$ ,  $e_4(v_4) = 4$ ,  $e_4(v_5) = 4$ ,  $e_4(v_6) = 4$ . Con estos resultados se concluye que:  $\text{rad}_4 G = 3$ ;  $\text{diám}_4 G = 4$ , y  $C_4(G) = \{v_3\}$ .

Con los conceptos establecidos, obtendremos los resultados necesarios para la demostración del teorema 3.7.

## ARBOLES DE STEINER

### 3.1 Lema

Sea  $G$  una gráfica conexa,  $H$  una subgráfica conexa de  $G$  y  $S \subseteq V(H)$ , si  $q(H) = d(S)$ , entonces  $H$  es un árbol. Tal árbol se denomina *árbol de Steiner para  $S$  en  $G$* .

**Demostración:**

Sea  $H$  una subgráfica conexa de  $G$ ,  $S \subseteq V(H)$  y  $q(H) = d(S)$ . supongamos que  $H$  no es un árbol, entonces  $H$  contiene al menos un ciclo.

Sea  $V(H) = \{v_0, v_1, v_2, \dots, v_n\}$  y supongamos que  $\{v_k, v_{k+1}, \dots, v_{k+m}\} \subseteq V(H)$  son los vértices de  $H$  que forman el ciclo, podemos entonces quitar una arista  $v_k v_{k+1}$  en el ciclo, de tal forma que  $H$  siga siendo conexa (al quitarle a  $H$  una arista a del ciclo,  $H' = H - a$  sigue siendo conexa ya que  $a$  no puede ser de corte, pues no sería parte de un ciclo) y no se altere su número de

vértices. Obtenemos así, una subgráfica  $H'$  con la propiedad de que  $V(H) = V(H')$ ,  $S \subseteq V(H')$  y  $q(H') < q(H) = d(S)$ , lo cual es una contradicción ya que  $d(S)$  es el mínimo número de aristas de una subgráfica conexa de  $G$  que contiene a  $S$ . Por lo tanto  $H$  es un árbol, que es lo que se quería demostrar.  $\square$

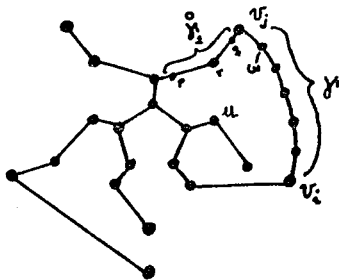
### 3.2 Lema

Si  $G$  es un árbol  $T$  y unimos cualesquiera dos vértices con una trayectoria, se formará un ciclo del cual podemos quitar el interior de cualquier trayectoria cuyos vértices tengan valencia igual a dos obteniendo nuevamente un árbol.

Demostración:

Sea  $T$  un árbol,  $V(T) = \{v_1, v_2, \dots, v_n\}$  y  $\gamma$  una  $v_1 v_j$ -trayectoria tal que  $V(\gamma) \cap V(T) = \{v_1, v_j\}$ . Entonces  $G = T \cup \gamma$  es una gráfica conexa con un ciclo  $C$ . Si  $\gamma_1$  es cualquier trayectoria en  $C$  tal que  $\overset{\circ}{\gamma}_1$  consta únicamente de vértices de valencia dos (fig. 2a), entonces:

$T \cup \gamma$ :



$V := v_i v_j$ -trayectoria

$\overset{\circ}{\gamma}_1 = pq$ -trayectoria

figura 2a

1.  $T_1 = G - \overset{\circ}{\gamma}_1$  es conexo: si  $u, w \in V(T_1)$  y la trayectoria que los une en  $G$  pasa por  $\gamma_1$  entonces la trayectoria que los une en  $T_1$

pasará por  $C - \dot{v}_1$  (fig. 2b).

$$T_2 = G \setminus \dot{v}_1 :$$

En  $T_2$ , la trayectoria  
de  $u$  a  $w$  pasa  
ahora por  $C - \dot{v}_2$

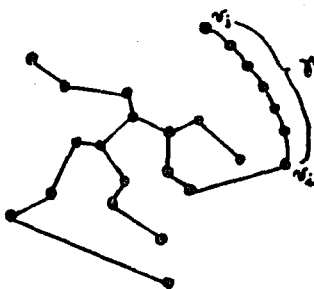


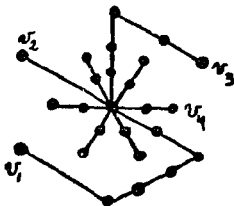
figura 2b

11.  $T_1$  es un árbol, ya que el único ciclo que había en  $G$  era  $C$ .

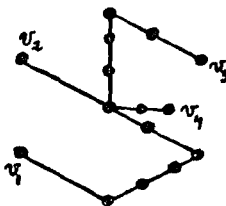
### 3.3 Lema

Si  $G$  es un árbol  $T$  y  $S \subseteq V(T)$ , entonces el árbol de Steiner  $H$  para  $S$ , es único (fig. 3).

$T$ :



$H$ :



donde  $S = \{v_1, v_2, v_3, v_4\}$

figura 3

Demostración:

Al suponer que existe un árbol  $T' \neq H$  tal que  $T'$  es otro árbol de Steiner para  $S$  en  $T$ , tendremos necesariamente que  $q(T') = d(S) = q(H)$ ; en un árbol las trayectorias entre cada par de vértices son únicas y en consecuencia las trayectorias entre los

vértices de  $S$  también lo son, por lo tanto  $V(T') = V(H)$  y  $A(T') = A(H)$  lo cual implica que  $T' = H$  que es lo que se quería demostrar.  $\square$

**Definición:**

Si  $G$  es una gráfica conexa de orden  $p$ ,  $n$  un entero tal que  $p \geq n$ , y  $S \subseteq V(G)$ , entonces  $S$  realiza el  $n$ -diámetro de  $G$  si y sólo si  $|S| = n$  y  $d(S) = \text{diám}_n G$ .

**3.4 Lema**

Si  $G$  es una gráfica conexa de orden  $p$  y  $n$  un entero  $2 < n \leq p$ , entonces:

$$\text{diám}_{n-1} G \leq \text{rad}_n G.$$

Veamos un ejemplo:

$$\text{diám}_2 G = 11$$

$$\text{rad}_2 G = 6$$

$$\text{diám}_3 G = 14$$

$$\text{rad}_3 G = 11$$

$$\text{diám}_4 G = 16$$

$$\text{rad}_4 G = 14$$

$$\text{diám}_5 G = 17$$

$$\text{rad}_5 G = 16$$

$G$ :

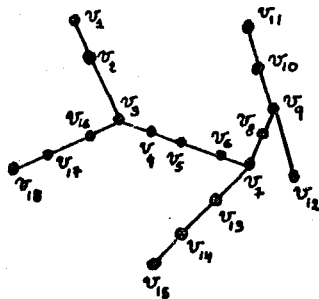


figura 4

**Demostración:**

Sea  $S_0 \subseteq V(G)$  un conjunto de vértices que realiza el  $(n-1)$ -diámetro de  $G$ .

Sea  $w_0 \in V(G)$  tal que  $e_n(w_0) = \text{rad}_n G$ .

Sea  $S \subseteq V(G)$  tal que  $S \supset S_0 \cup \{w_0\}$  y  $|S| = n$ .

En consecuencia tenemos :

$$\text{diám}_{n-1} G = d(S_0) \leq d(S), \text{ (porque } S_0 \subset S); \quad (1)$$

$$\text{y, que } d(S) \leq e_n(w_0) = \text{rad}_n G, \text{ (porque } w_0 \in S). \quad (2)$$

$$\text{Por (1) y (2), } \text{diám}_{n-1} G = d(S_0) \leq d(S) \leq e_n(w_0) = \text{rad}_n G,$$

esto es:

$$\text{diám}_{n-1} G \leq \text{rad}_n G,$$

que es lo que se quería demostrar.  $\square$

### 3.5 Lema

Sea  $T$  un árbol de orden  $p \geq n$  con  $k$  vértices terminales y  $S$  un conjunto de vértices que realiza el  $n$ -diámetro de  $T$ .

1. Si  $n \leq k$ , entonces  $S \subseteq \text{Ter}(T)$ .

2. Si  $n \geq k$ , entonces  $S \supseteq \text{Ter}(T)$ .

Demostración:

1. Sea  $n \leq k$  y sea  $S \subseteq V(T)$  que realiza el  $n$ -diámetro de  $T$ .

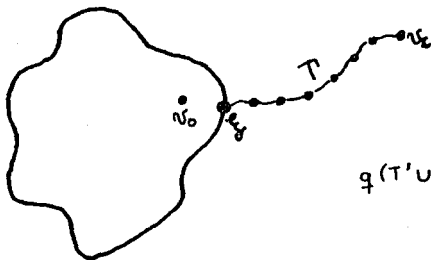
Supongamos que  $S \not\subseteq \text{Ter}(T)$ .

Sea  $v_0 \in S$ , tal que  $v_0 \notin \text{Ter}(T)$ ,

Consideremos a  $T'$  un subárbol de Steiner para  $S - \{v_0\}$ :

i. Si  $v_0 \in V(T')$ , entonces  $d(S) = q(T')$ , y como  $n \leq k$ , existe  $v_t \in \text{Ter}(T)$  tal que  $v_t \in (S - \{v_0\})$ . Sea  $\xi$  el vértice de  $T'$  para el cual  $d(v_t, T') = d(v_t, \xi)$ , y llamemos  $\Gamma$  a la trayectoria de  $v_t$  a  $\xi$ .

$T'$ :



$$q(T' \cup T) > q(T') = d(S)!$$

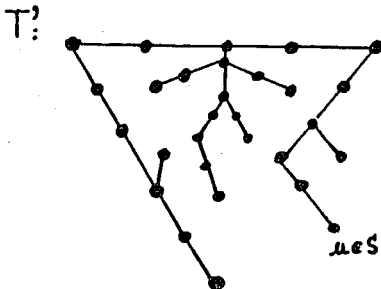
figura 5

**Demostración:**

A. Si  $|\text{Ter}(T)| \leq n$  y  $S \subseteq V(T)$  realiza el  $n$ -diámetro, por el lema 3.5 (parte 2),  $S \supseteq \text{Ter}(T)$ , por lo tanto  $\text{diám}_n T = q(T)$ .

Si  $|\text{Ter}(T)| \leq n-1$  y  $S \subseteq V(T)$  realiza el  $(n-1)$ -diámetro, de nuevo por el lema 3.5 (parte 2)  $S \supseteq \text{Ter}(T)$ , y así  $\text{diám}_n T = \text{diám}_{n-1} T$ , como  $\frac{n}{n-1} > 1$  se obtiene  $\text{diám}_n T < \frac{n}{n-1} \text{diám}_{n-1} T$ , que es lo que se quería.  $\square$

B. Supongamos ahora que  $|\text{Ter}(T)| \geq n$ . Consideremos un conjunto  $S \subseteq V(T)$  que realice el  $n$ -diámetro, por el lema 3.5 (parte 1),  $S \subseteq \text{Ter}(T)$ . Sea  $T'$  el árbol de Steiner para  $S$ , observemos que  $\text{Ter}(T') = S$  y por lo tanto  $\text{diám}_n T = q(T')$ .



Supongamos que este es el árbol de Steiner para  $S$  en  $T$ .

figura 7

Para cada  $u \in S$ , sea  $T_u$  el árbol de Steiner para  $S - \{u\}$  así que  $d(S - \{u\}) = q(T_u)$  (fig. 8). (1)

Es claro que:  $T_u \leq T' \leq T$ , para toda  $u \in S$ , así que,  $d(S - \{u\}) \leq \text{diám}_{n-1} T' \leq \text{diám}_{n-1} T$ , como  $|S| = n$ , entonces,

$$\sum_{u \in S} d(S - \{u\}) \leq n \text{diám}_{n-1} T. \quad (2)$$

Como  $T' \leq T' \cup \Gamma$  tendríamos que:

$$d((S - \{v_0\}) \cup \{v_t\}) = q(T' \cup \Gamma) > q(T') = d(S) = \text{diám}_n T,$$

lo cual es imposible, por lo tanto  $S \leq \text{Ter}(T)$ .  $\square$

ii. Supongamos ahora que  $v_0 \notin T'$ , consideremos  $\xi \in V(T')$  tal que  $d(v_0, T') = d(v_0, \xi)$  y sea  $\Gamma_1$  la  $v_0\xi$ -trayectoria, como  $v_0 \notin \text{Ter}(T)$  existe  $v_t \in \text{Ter}(T)$ ,  $v_t \notin S$ , y  $\Gamma_2$  una  $v_0v_t$ -trayectoria tal que si  $w$  es el primer vértice en  $\Gamma_1$  después de  $v_0$ , entonces  $w \notin V(\Gamma_2)$ . Sea  $\Gamma = \Gamma_1 \cup \Gamma_2$  la trayectoria de  $\xi$  a  $v_t$  (esto es posible ya que  $\Gamma_1 \cap \Gamma_2 = v_0$ ).

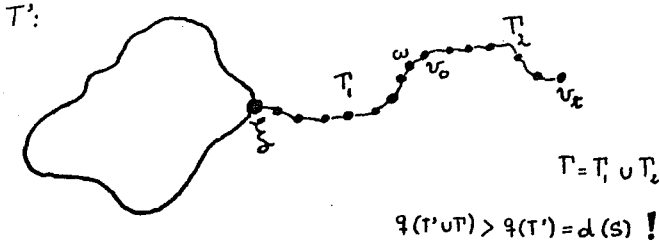


figura 6

Una vez más:

$$d((S - \{v_0\}) \cup \{v_t\}) = q(T' \cup \Gamma) > q(T') = d(S) = \text{diám}_n T,$$

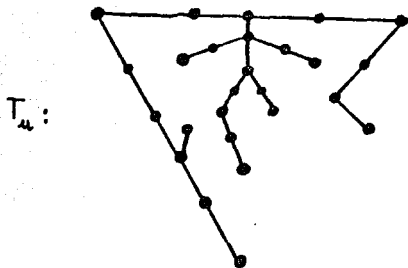
lo cual no es posible y por lo tanto  $S \leq \text{Ter}(T)$ .  $\square$

2. Si  $n \geq k$  entonces  $\text{diám}_n T = q(T)$  y por lo tanto el árbol de Steiner para  $S$  es  $T$ , de aquí que  $S \geq \text{Ter}(T)$ . Puesto que, si  $v \in (\text{Ter}(T) - S)$  el árbol de Steiner para  $S$  estaría contenido en  $T - \{v\}$ .  $\square$

### 3.6 Lema

Sea  $n \geq 3$  un entero y  $T$  un árbol de orden  $p \geq n$ , entonces:

$$\text{diám}_n T \leq \frac{n}{n-1} \text{diám}_{n-1} T.$$



$T_u$ :

$$d(S - \{u\}) = q(T_u)$$

$$q(T_{u_i}) \leq q(T') - 1$$

figura 8

Consideremos por otra parte las longitudes de cada una de las trayectorias en  $T'$  de un vértice terminal  $u_i$  al primer vértice  $v_1$  también en  $T'$  cuya valencia sea mayor que dos:  $l_i = d(u_i, v_1)$ , donde  $\text{val}(v_1) > 2$ , es claro que (fig. 9):

$$q(T_{u_1}) + l_1 = q(T'); \quad q(T_{u_2}) + l_2 = q(T'); \quad \dots; \quad q(T_{u_n}) + l_n = q(T');$$

Si por ejemplo  $T'$ :

sea  $\mu_i$  la trayectoria tal que

$$q(\mu_i) = l_i \quad \forall i, \text{ entonces,} \\ T' = \bigcup (\mu_i \setminus \{v_1\});$$

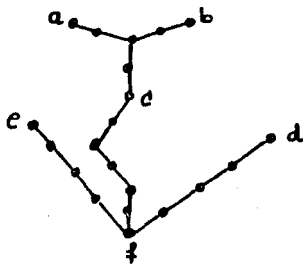
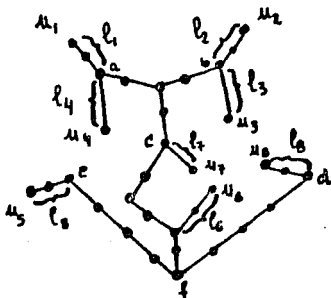


figura 9

Entonces  $\sum_{u \in S} q(T_u) = n q(T') - \sum_1^n l_i$ , esto es,

$$\sum_{u \in S} q(T_u) = n \text{diám}_n T - \sum_1^n l_i, \text{ es claro también que}$$

$$\text{diám}_n T = q(T') \geq \sum_1^n l_i, \text{ por lo que obtenemos}$$

$$\sum_{u \in S} q(T_u) \geq n \operatorname{diám}_n T - \operatorname{diám}_n T, \text{ esto es}$$

$$\sum_{u \in S} q(T_u) \geq (n - 1) \operatorname{diám}_n T. \quad (3)$$

De (1), (2) y (3) se obtiene:

$(n - 1) \operatorname{diám}_n T \leq \sum_{u \in S} q(T_u) = \sum_{u \in S} d(S - \{u\}) \leq n \operatorname{diám}_{n-1} T$ , y por lo tanto:

$$\operatorname{diám}_n T \leq \frac{n}{n-1} \operatorname{diám}_{n-1} T,$$

que es lo que se quería demostrar.  $\square$

Con ayuda de los lemas anteriores podemos demostrar lo siguiente:

### 3.7 Teorema [G. Chartrand, O. R. Oellermann, S. Tian y H. C. Zou]

Sea  $n \geq 2$  un entero y  $T$  un árbol de orden  $p \geq n$ , entonces:

$$\operatorname{diám}_n T \leq \frac{n}{n-1} \operatorname{rad}_n T.$$

Demostración:

Por el lema 3.4,  $\operatorname{diám}_{n-1} G \leq \operatorname{rad}_n G$ , en particular si  $G$  es un árbol  $T$ , tenemos que:

$$\operatorname{diám}_{n-1} T \leq \operatorname{rad}_n T. \quad (1)$$

Por el lema 3.6:

$$\operatorname{diám}_n T \leq \frac{n}{n-1} \operatorname{diám}_{n-1} T. \quad (2)$$

De (1), como  $n \geq 2$ , tenemos que  $\frac{n}{n-1} \operatorname{diám}_{n-1} T \leq \frac{n}{n-1} \operatorname{rad}_n T$ , y junto con (2) obtenemos como resultado:

$$\operatorname{diám}_n T \leq \frac{n}{n-1} \operatorname{rad}_n T,$$

que es lo que se quería demostrar.  $\square$

Podemos ver un ejemplo en la figura 10.

gráfica bipartita completa  $K_{n,n}$  cuyos conjuntos partitas son:

$$U = \{ u_1, u_2, \dots, u_n \} \text{ y } V = \{ v_1, v_2, \dots, v_n \}.$$

Sea  $H_n$  la gráfica que se obtiene de  $H - \{ u_1 v_1$ , tal que  $1 \leq i \leq n \}$  agregando un nuevo vértice  $v$  adyacente a todos los vértices de  $U$ .

Sea  $k = 1$ , entonces  $G_n$  se obtiene de  $H_n$  subdividiendo cada arista del tipo  $u_i v_j$   $2k-1$  veces (en este caso, una vez), y las aristas del tipo  $vu_i$   $k-1$  veces (en este caso, ninguna).

A continuación se muestra una representación de la gráfica que se ha construido.

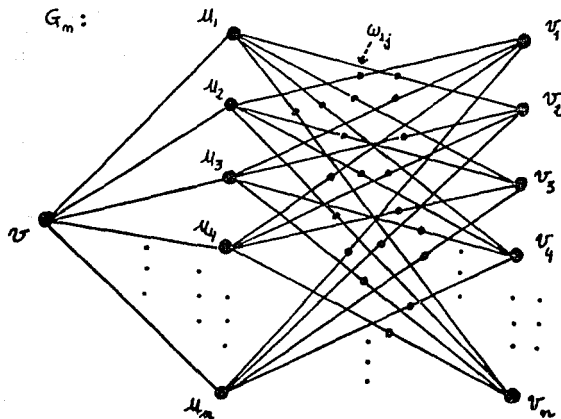


figura 11

Donde:  $|V(G_n)| = 1 + n + n^2$ , y

$V(G_n) = U \cup V \cup W \cup \{v\}$ , donde

$W = \{w_{ij} : w_{ij} \in u_i v_j\text{-trayectoria}, 1 \leq i, j \leq n \text{ y } j \neq i\}$

Para encontrar el  $n$ -diámetro y el  $n$ -radio deberemos encontrar tanto la mayor como la menor excentricidad de los vértices de  $G_n$ .

Consideremos para todos los casos lo siguiente:

1. Sea  $S \subseteq V(G_n)$ ,  $|S| = n$  y  $T$  un árbol de Steiner para  $S$  en  $G_n$ .

Para  $m=4$ :

$$\text{diám}_4 T = 12$$

$$\text{rad}_4 T = 9$$

$$12 = \frac{4}{3} \cdot 9$$

Para  $m=5$ :

$$\text{diám}_5 T = 14$$

$$\text{rad}_5 T = 12$$

$$14 < \frac{5}{4} \cdot 12$$

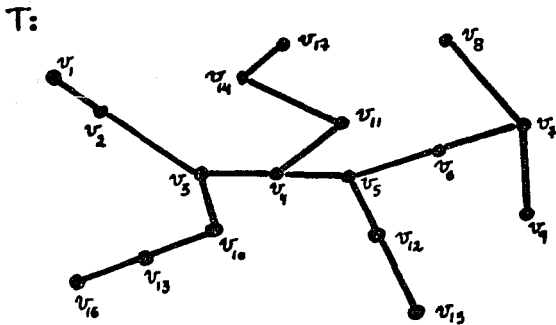


figura 10

Para  $n=2$  obtenemos la bien conocida cota para el diámetro de un árbol en términos de su radio:  $\text{diám}_2 T \leq 2 \text{rad}_2 T$ .

En [3] se conjetura que el teorema 3.7 se puede extender a todas las gráficas conexas, es decir: si  $n \geq 3$  es un entero y  $G$  es una gráfica conexa, entonces  $\text{diám}_n G \leq \frac{n}{n-1} \text{rad}_n G$ . El siguiente resultado desmiente tal conjetura:

### EL TEOREMA DE HENNING, OELLERMAN Y SWART

#### 3.8 Teorema [M. A. Henning, O. R. Oellerman y H. C. Swart]

Si  $n \geq 3$  es un entero, entonces existe una gráfica conexa  $G$ , tal que :

$$\text{diám}_n G = \frac{2(n+1)}{2n-1} \text{rad}_n G.$$

Demostración:

Observemos primero que efectivamente

$\frac{n}{n-1} < \frac{2(n+1)}{2n-1}$ , para toda  $n > 2$  (para  $n=2$  se obtiene la igualdad).

Sea  $G_n$  la gráfica que se obtiene de la siguiente manera: sea  $H$  la

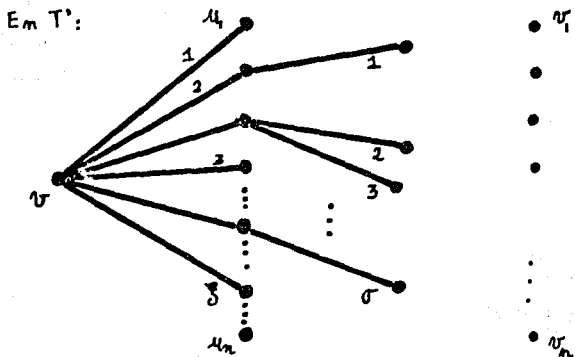


figura 13

iii)  $2v + 1$  aristas más, que se obtienen como sigue (fig. 14):

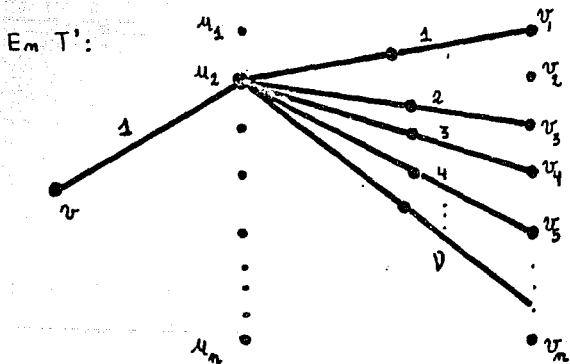


figura 14

como  $|S \cap V| < n$ , existe  $v_1 \in V$  (en la figura  $i = 2$ ) tal que  $v_1 \notin S \cap V$  y por lo tanto  $u_1$  es un vértice de  $U$  a través del cual se puede llegar por medio de una trayectoria a cualquier vértice de  $S \cap V$ , consideremos, pues todas estas trayectorias y la arista de  $v$  a  $u_1$ .

Así que, como  $T$  es un árbol de Steiner para  $S$  en  $G_n$  el tamaño de

ii. Sean  $\xi = |S \cap U|$ ,  $\sigma = |S \cap W|$ , y  $\nu = |S \cap V|$ .

iii.  $d(v, u_i) = 1$ , para toda  $u_i \in U$ ,

$d(v, w_{ij}) = 2$ , para toda  $w_{ij} \in W$ , y

$d(v, v_i) = 3$ , para toda  $v_i \in V$ .

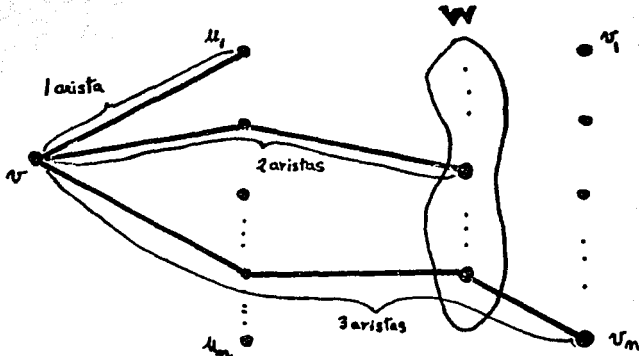
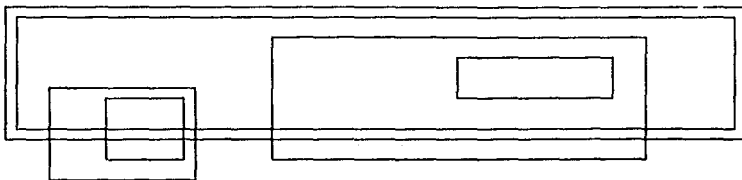


figura 12

I. Supongamos que  $v \in S$ , entonces  $e_n(v) \leq 2n - 1$ .

Demostración:

Construyamos un árbol  $T'$  de la siguiente manera: i) que tenga todas las aristas entre  $v$  y los vértices en  $S \cap U$ , a saber  $\xi$  aristas; ii) todas las trayectorias de longitud dos que parten de  $v$  a todos los vértices de  $S \cap W$  que son  $2\sigma$  (fig. 13) y,



T será menor o igual al de T', esto es,

$q(T) \leq q(T') \leq \xi + 2\sigma + 2\nu + 1 = 2\xi + 2\sigma + 2\nu + 1 - \xi$ , como  $\nu \in S$ , entonces  $\xi + \sigma + \nu = n - 1$ , y por lo tanto,  $q(T) \leq 2(n - 1) + 1 - \xi$ , esto es,  $q(T) \leq 2n - 1 - \xi \leq 2n - 1$ , lo cual implica que  $e_n(\nu) \leq 2n - 1$ .

II. Si  $\nu \notin S$  y  $|S \cap V| < n$ , entonces  $e_n(u_1) \leq 2n$  y  $e_n(w_{1j}) \leq 2n + 1$ .

Demostración:

Como explicamos en el caso anterior, el tamaño de T es menor o igual al tamaño del árbol T' que construimos, esto es  $q(T) \leq 2(\xi + \sigma + \nu) + 1 - \xi$ , sólo que en este caso como  $\nu \notin S$ ,  $\xi + \sigma + \nu = n$  y por lo tanto  $q(T) \leq 2n + 1 - \xi$ , así:

a. Si  $|S \cap U| = \xi = 1$  entonces  $q(T) \leq 2n$  lo que implica que  $e_n(u_1) \leq 2n$ . Esto se debe a que, si  $|S \cap U| > 1$  el tamaño de T disminuiría, recordemos que  $e_n(p)$   $p \in V(G)$  es la máxima distancia de Steiner entre todos los posibles  $S \subseteq V(G)$ ,  $|S| = n$  y  $p \in S$ .

b. Si  $S \cap U = \emptyset$ ,  $q(T) \leq 2n + 1$  y  $e_n(w_{1j}) \leq 2n + 1$ . Como  $|S \cap V| < n$  existe algún  $w_{1j} \in S$ .  $\square$

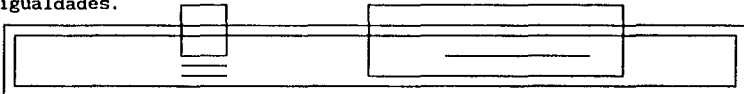
III. Si  $S = V$ , entonces  $e_n(v_1) \leq 2(n + 1)$ .

Demostración:

En este caso, podemos construir un árbol T' en el que las aristas  $\nu u_1$ ,  $\nu u_2$  y las trayectorias de la forma  $u_1 v_j$ ,  $j \neq 1$  estén en T' al igual que la trayectoria  $\nu_1 u_2$  y nada más (fig. 15).

Así,  $q(T) \leq 2n + 2$  y en consecuencia  $e_n(\nu, G_n) \leq 2(n + 1)$ .  $\square$

Veremos a continuación que las desigualdades anteriores para las n-excentricidades de cada uno de los vértices de  $G_n$  son realmente igualdades.



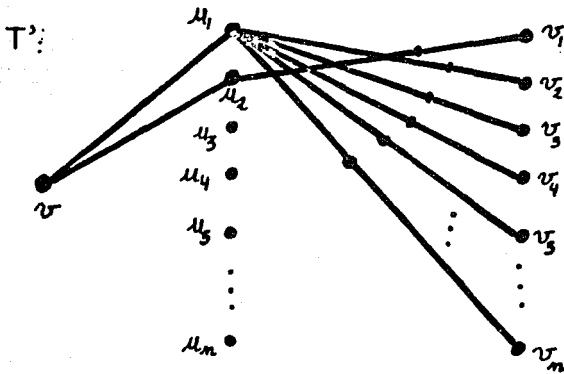


figura 15

IV.  $e_n(v) = 2n - 1$ .

Tomemos  $S = \{v\} \cup (V - \{v_1\})$ , como  $|V \cap S| = n - 1$ , en  $T$  existen al menos  $n - 1$  trayectorias de longitud dos que parten de alguna  $v_1$  en  $S$  a algún vértice  $u_1 \in U$  y por lo menos una arista que parte de  $v$  a algún vértice  $u_1$  (fig. 16):

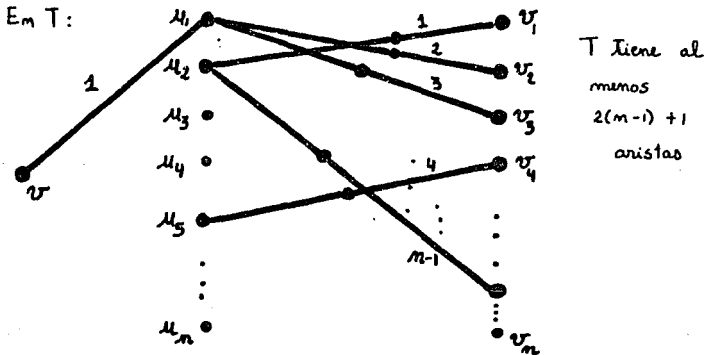


figura 16

así, tenemos que  $q(T) \geq 2(n - 1) + 1 = 2n - 1$ , por lo cual

$e_n(v) \geq 2n - 1$ , como en I se demostró la desigualdad contraria, entonces,  $e_n(v) = 2n - 1$ .  $\square$

V.  $e_n(v_1) = 2(n + 1)$ .

Si consideremos ahora  $S = V$ , en  $T$  existen al menos  $n$  trayectorias de longitud dos que se inician en cada uno de los vértices  $v_i \in V$ , pero la unión de estas trayectorias de ninguna manera forma una subgráfica conexa, por lo que necesitamos al menos de dos aristas más para unir las (fig. 17):

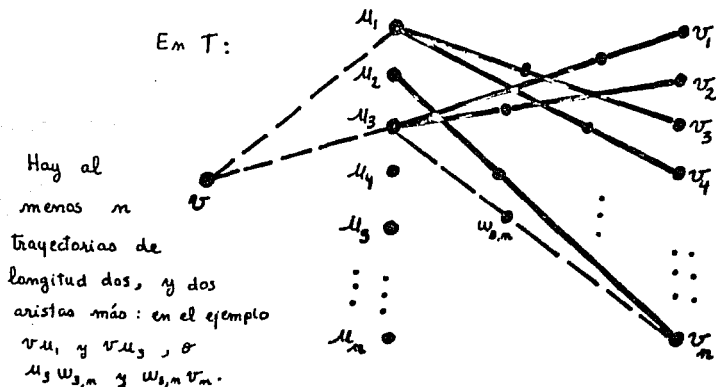


figura 17

tenemos entonces que  $q(T) \geq 2n + 2 = 2(n + 1)$ , por lo tanto  $e_n(v_1) \geq 2(n + 1)$  y en consecuencia  $e_n(v_1) = 2(n + 1)$ , ya que en III se demostró la desigualdad contraria.  $\square$

VI.  $e_n(u_1) = 2n$ .

Sea  $S = \{u_1\} \cup (V - \{v_2\})$ , como  $V - \{v_2\} \subseteq S$ ,  $T$  tiene al menos  $n - 1$  trayectorias de longitud dos, nuevamente, la unión de estas trayectorias no forma una subgráfica conexa de  $G_n$ , entonces  $T$  tiene al menos dos aristas más (fig. 18):

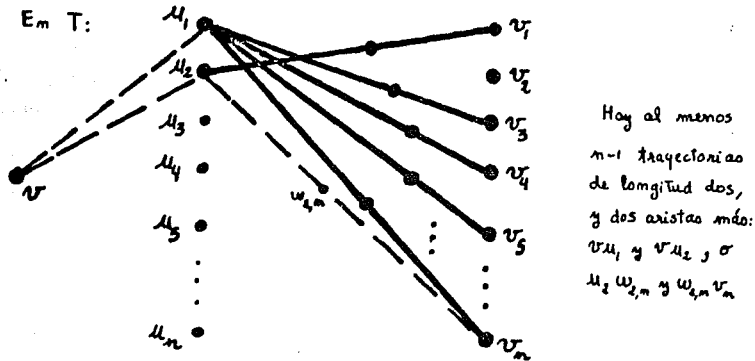


figura 18

así,  $q(T) \geq 2(n-1) + 2 = 2n - 2 + 2 = 2n$ , esto es  $e_n(u_1) \geq 2n$  por

IIa  $e_n(u_1) \leq 2n$ , por lo tanto  $e_n(u_1, G_n) = 2n$ .  $\square$

VII.  $e_n(w_{1,j}) = 2n + 1$ .

Tomemos  $S = \{w_{12}\} \cup (V - \{v_2\})$ ,  $w_{12}$  está en T, entonces, o bien  $v_2 \in V(T)$ , o  $u_1 \in V(T)$ , o ambos están en  $V(T)$ , pero alguno es adyacente a  $w_{12}$  tenemos ya, al menos, una arista en T;

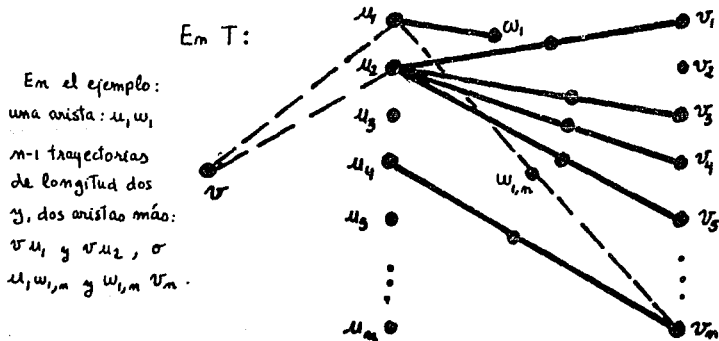


figura 19

trayectorias de la forma  $u_1 v_{i+1}$ <sup>7</sup>, tomemos en cada una de estas trayectorias los vértices que se encuentran a distancia tres aristas de  $u_1$  (fig.20):

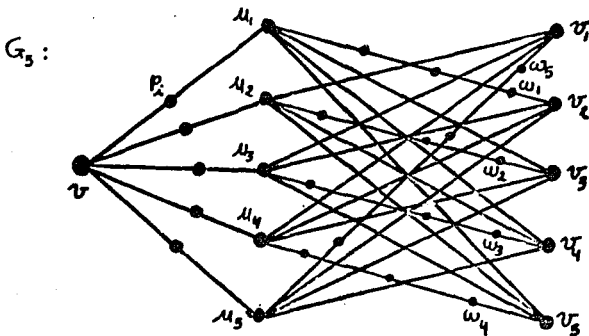


figura 20

obsérvese que  $d(v, u_1) = 2$ ,  $d(u_1, w_1) = 3$ ,  $d(v_{i+1}, w_1) = 1$ , para toda  $i$ .

Al considerar un árbol de Steiner  $T$  para  $W$  en  $G_5$ , afirmamos lo siguiente:

### 3.9 Proposición

$$d(W) = q(T) = 25.$$

Para la demostración hará falta tomar en consideración otros lemas.

### 3.10 Lema

$$\text{Si } S' \subseteq (V \cup U) \text{ entonces } d(S') \geq 4(|S'| - 1).$$

<sup>7</sup> Para  $i = n$ , tomaremos siempre  $v_{i+1} = v_1$ .

como  $V - \{v_2\} \subseteq V(T)$ ,  $T$  tiene al menos  $n - 1$  trayectorias de longitud dos, pero  $T$  aún no es una subgráfica conexa de  $G_n$ , debe tener al menos dos aristas más (fig. 19).

Así que,  $q(T) \geq 2(n-1) + 3 = 2n + 1$ , entonces  $e_n(w_{1j}) \geq 2n + 1$ , y por IIb resulta que  $e_n(w_{1j}, G_n) = 2n + 1$ .

Con lo demostrado en los puntos anteriores, podemos afirmar que:

$$\text{diám } G_n = 2(n+1) \text{ y que } \text{rad } G_n = 2n - 1,$$

con lo cual:

$$\text{diám } G_n = 2(n+1) = \frac{2(n+1)}{2n-1} 2n-1 = \frac{2(n+1)}{2n-1} \text{rad } G_n$$

que es lo que se quería demostrar.  $\square$

### UNA ACLARACION AL TEOREMA 3.8

La construcción de la gráfica  $G_n$  para cualquier  $k \geq 1$  (pág. 33), nos da una gama infinita de gráficas conexas  $G_{n,k}$  para cada  $n$  al subdividir las aristas del tipo  $vu_1$ ,  $k - 1$  veces, y las del tipo  $u_1v_j$ ,  $2k - 1$  veces; en [6] se afirma que para toda  $k \geq 1$   $\text{diám } G_{n,k} = \frac{2(n+1)}{2n-1} \text{rad } G_{n,k}$ , nuestro teorema 3.8 prueba esto sólo para  $k = 1$ .

El propósito de esta sección es demostrar que no todas las gráficas  $G_{n,k}$  construidas así cumplen con la propiedad establecida. Consideraremos la gráfica  $G_{n,k}$  para  $n = 5$ ,  $k = 2$ , y un conjunto de vértices de cardinalidad 5 para el cual la distancia de Steiner es mayor que  $2k(n + 1)$ , en particular mayor que 24 para  $G_{5,2} := G_5$ .

Sea pues  $n = 5$  y  $k = 2$ ,

tomaremos  $W = \{w_i, \text{ tal que } w_i \in V(G_5), 1 \leq i \leq 5\}$  donde los vértices  $w_i$  están elegidos de la siguiente manera: como  $k = 2$ , en las trayectorias  $vu_1$  habrá un vértice intermedio  $p_i$ ,  $1 \leq i \leq 5$ , y en cada una de las trayectorias  $u_1v_j$ , tres vértices; fijémonos en las

A es un árbol ya que si no lo fuera, existiría entre algún par de vértices de A al menos dos trayectorias distintas que los unen, las cuales provienen de T', esto imposible ya que T' es un árbol.

Como A es un árbol y  $|V(A)| \geq |S'|$ , entonces,  $q(A) = |V(A)| - 1 \geq |S'| - 1$ , como cada arista en A equivale en T' a una trayectoria de longitud cuatro,  $q(T) = d(S') \geq 4(|S'| - 1)$ , que es lo que se quería demostrar.  $\square$

3.11 Lema:  $|V(T) \cap (U \cup V)| \geq 5$ .

Como T es conexo, para que  $w_1$  pueda conectarse a los otros vértices de W en T, existen sólo dos posibilidades: la arista  $w_1 v_{1+1}$ , o la trayectoria  $u_1 w_1$  (de longitud tres) está en T, en consecuencia se obtiene el resultado que buscamos (fig.23).  $\square$

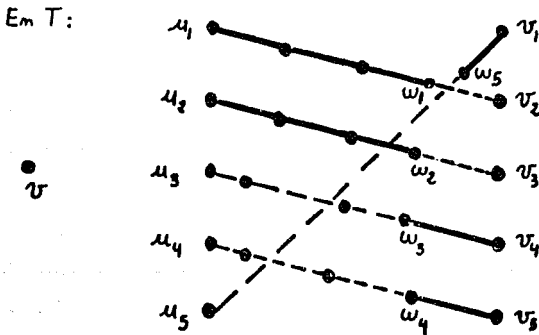


figura 23

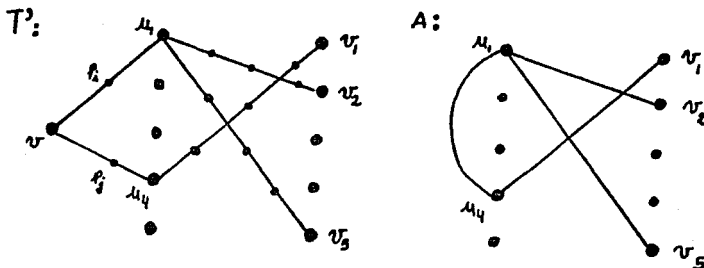
3.12 Lema:  $|V(T) \cap U| \geq 2$ .

Si  $V(T) \cap U = \emptyset$ , entonces cualquier  $w_1$  estaría desconectado de los demás, ya que para conectarlo con cualquier otro es necesaria una trayectoria  $v_{1+1} u_1$ , de las cuales no habría en T (fig. 24).

Demostración:

Sea  $T'$  un árbol de Steiner para  $S' \subseteq (U \cup V)$ . Formaremos una nueva gráfica  $A$ :

$V(A) = V(T') \cap (V \cup U)$  (obsérvese que  $|V(A)| \geq |S'|$ ), y se pone una arista entre  $u_i$  y  $v_j$  si la trayectoria de  $u_i v_j$  está en  $T'$ , y una arista entre  $u_i$  y  $u_j$  si la trayectoria  $u_i p_i v p_j u_j$  está en  $T'$ .

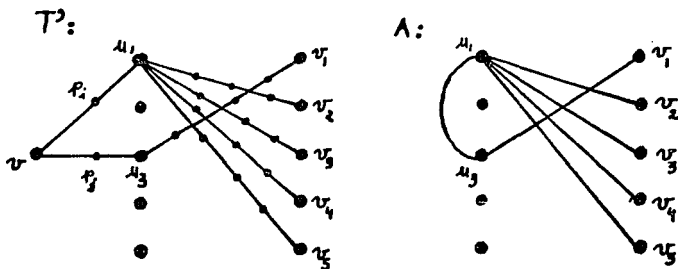


$$S^2 = \{v_1, v_2, v_3, u_1, u_4\}$$

$$d(S^2) = 4(5-1)$$

figura 21

$A$  es conexa pues como  $T'$  es conexo, para cualquier par de vértices en  $S'$  existe una trayectoria que los une, lo cual se traducirá en  $A$  en una trayectoria que los sigue uniendo aunque de menor longitud.



$$S^3 = V$$

$$d(S^3) > 4(5-1)$$

figura 22

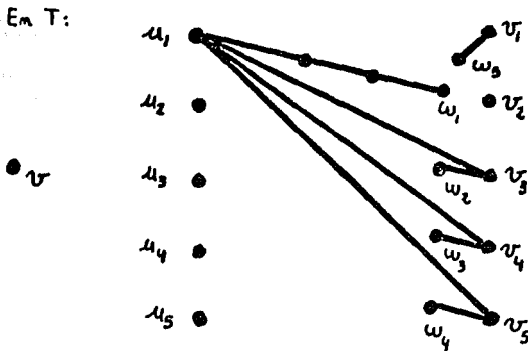


figura 26

pero  $w_5$  no está en ninguna de ellas; sabemos que debe existir una trayectoria en  $T$  de  $w_5$  a  $u_1$ , pero esta trayectoria pasa necesariamente por  $v_1$  lo cual es imposible.  $\square$

### 3.13 Proposición

$$\text{Ter}(T) = W.$$

Demostraremos antes el

### 3.14 Lema

Sea  $G$  una gráfica conexa de orden  $p$  y  $S \subseteq V(G)$  con  $|S| = n$ , donde  $n \leq p$ . Sea  $T$  un árbol de Steiner para  $S$  en  $G$ , entonces  $\text{Ter}(T) \subseteq S$ .

Demostración:

Sea  $t \in \text{Ter}(T)$  y supongamos que  $t \notin S$ , consideremos  $T_1 = T - \{t\}$ , entonces  $S \subseteq V(T_1)$  y  $q(T_1) < q(T)$ , lo cual es una contradicción y por lo tanto el sublema es cierto.  $\square$

Demostración de la proposición 3.13:

Por el lema 3.14:  $\text{Ter}(T) \subseteq S$ .

Supongamos ahora que existe  $w_1 \in W$  tal que  $w_1 \notin \text{Ter}(T)$ ,

$E_m T:$

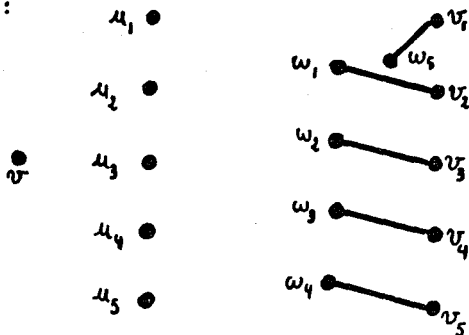


figura 24

Si  $|V(T) \cap U| = 1$  supondremos sin pérdida de generalidad que  $V(T) \cap U = \{u_1\}$ . Como  $u_1 \notin V(T)$ ,  $2 \leq i \leq 5$ , entonces por el lema 3.11:  $v_1, v_3, v_4$ , y  $v_5$ , si están en  $V(T)$  y en consecuencia las aristas  $w_5v_1, w_2v_3, w_3v_4$ , y  $w_4v_5$  están en  $A(T)$  (fig. 25).

$E_m T:$

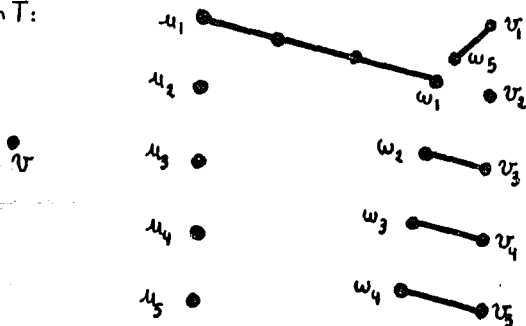


figura 25

$T$  contiene a lo más tres trayectorias de longitud cinco que parten de  $u_1$  y llegan a algún  $w_1$  (fig. 26),

entonces la trayectoria  $u_1 v_{i+1}$  está en  $T$  (fig. 27).

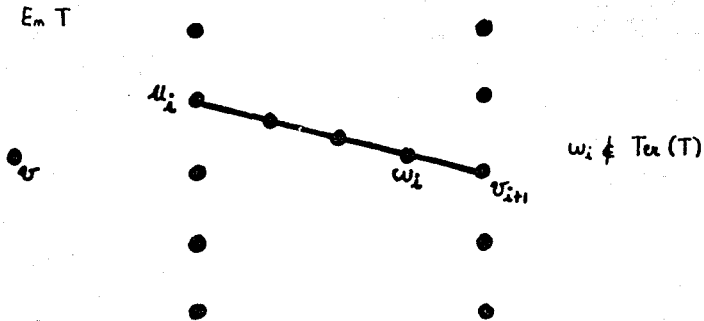


figura 27

Sea  $\beta = \text{val}_T(v_{i+1})$ .

Como  $v_{i+1} \in W$  entonces  $v_{i+1} \in \text{Ter}(T)$  y por lo tanto  $\beta \geq 2$ .

Sean  $\left\{ \gamma_r = v_{i+1} u_j \right\}_{r=1}^{\beta}$  las trayectorias en  $T$  que

parten de  $v_{i+1}$  a algún  $u_j \in U$ , y donde  $u_{j_1} = u_1$  (fig. 28).

$E_m T$ :  
 $\text{val}_T(v_{i+1}) \geq 2$

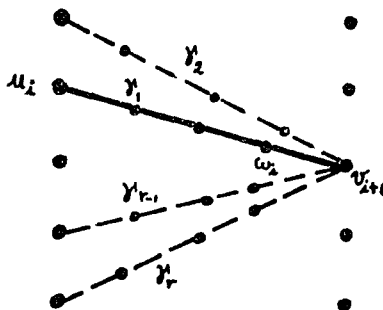


figura 28

$$\text{Sea } T_1 = \left( \left( T \setminus \left( \bigcup_{r=2}^{\beta} \gamma_r \right) \right) \cup \left( \bigcup_{r=1}^{\beta} v u_{jr} \right) \right) \text{ (fig. 29)}$$

En  $T_1$ :

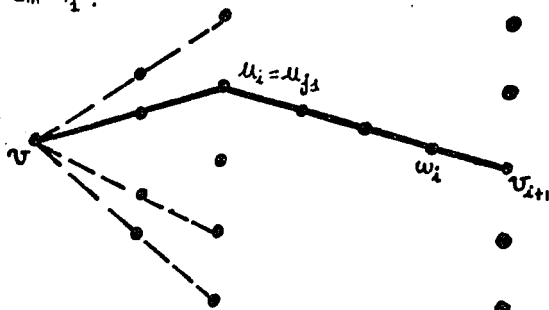


figura 29

Entonces  $W \subseteq V(T_1)$  y  $T_1$  es conexo ya que si  $x, z \in V(T_1)$  existe  $\gamma: xz$ -trayectoria en  $T$  y cada trayectoria  $\gamma_r$  que aparezca en  $\gamma$  se sustituye por la trayectoria  $\gamma'_r := v_{i+1} u_{i+1} v u_{jr}$ , que si está en  $T_1$ .

Obsérvese que  $q(T_1) \leq q(T) - 4(\beta - 1) + 2\beta \leq q(T) - 2\beta + 4$ ; y como  $\beta \geq 2$  tenemos que  $q(T_1) \leq q(T)$ .

En resumen  $T_1$  es conexo,  $W \subseteq V(T_1)$  y  $q(T_1) \leq q(T)$ , de donde  $q(T_1) = q(T)$  y  $\beta = 2$ . Pero  $v_{i+1} \in V(T_1)$ , es más  $v_{i+1} \in \text{Ter}(T_1)$ , si consideramos  $T_2 = T_1 \setminus \{v_{i+1}\}$ , es un árbol con la propiedad de que  $W \subseteq V(T_2)$  y  $q(T_2) < q(T_1) = q(T)$ . Lo cual es imposible.

En conclusión si  $w_i \in W$ , entonces  $w_i \in \text{Ter}(T)$ , esto es  $W \subseteq \text{Ter}(T)$  y por lo tanto  $\text{Ter}(T) = W$ , que es lo que se quería demostrar.  $\square$

#### Demostración de la proposición 3.9:

Sea  $T'$  el subárbol de  $G_5$  que contiene a  $W$ , construido como se muestra en la figura 30.

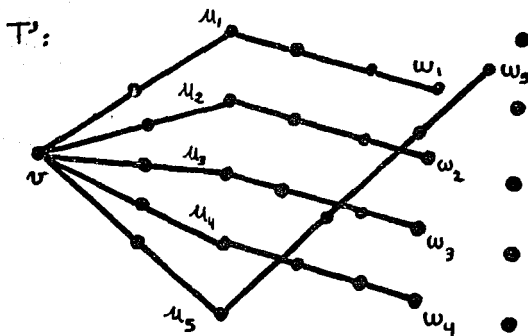


figura 30

$A(T') = A \left( \bigcup_{i=1}^5 \gamma_i \right)^5$ , donde  $\gamma_i := vu_iw_i$ -trayectoria,  $1 \leq i \leq 5$ , entonces  $q(T') = 25$ , y en consecuencia  $q(T) \leq 25$ .

Probaremos ahora que  $q(T) = 25$ , analizaremos dos casos  $v \in V(T)$  y  $v \notin V(T)$ .

I. Supongamos primero que  $v \in V(T)$ :

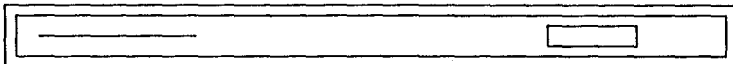
como  $v \notin W$ , entonces  $v \notin \text{Ter}(T)$ , por lo que existen al menos  $u_j, u_k \in U$ ,  $j \neq k$  tales que las trayectorias  $vu_j$  y  $vu_k$  están en  $T$ .

### 3.15 Lema

Si la trayectoria  $vu_j$  está en  $T$ , entonces la trayectoria  $u_jw_j$  también está en  $T$ .

Demostración:

Supongamos que la trayectoria  $u_jw_j$  no está en  $T$ , entonces la arista  $w_jv_{j+1}$  si está en  $T$  y por lo tanto, existe una trayectoria  $v_{j+1}u_r$  en  $T$  para alguna  $u_r \in U$ ,  $u_r \neq u_j$  (fig. 31),



$E_m T:$

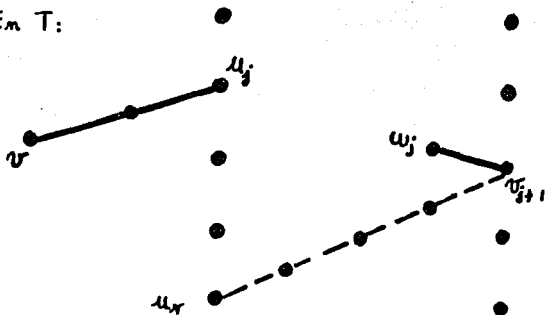


figura 31

si agregamos la trayectoria  $u_j w_j$  en  $T$ , se formará un ciclo  $C$  (fig. 32) que contiene a la trayectoria  $v_{j+1} u_r$ .

$T \cup u_j w_j$  - trayectoria :

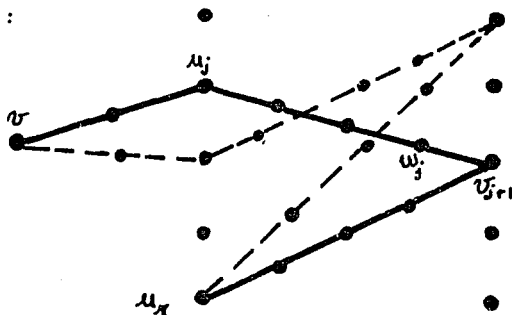
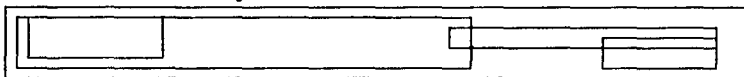


figura 32

Al quitar el interior de la trayectoria  $v_{j+1} u_r$  obtendremos nuevamente un árbol  $T_1$  (lema 3.2) (fig. 33),



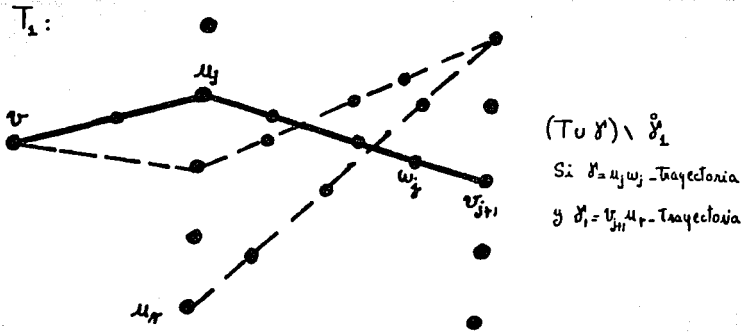


figura 33

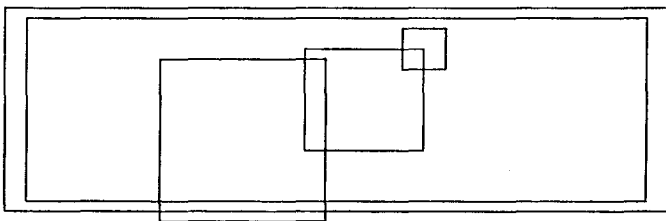
con la propiedad de que  $W \subseteq V(T_1)$  y  $q(T_1) < q(T)$ , lo cual es una contradicción.  $\square$

### 3.16 Lema

Si  $v_{1+1} \in V(T)$ , entonces la trayectoria de  $u_1$  a  $w_1$  no está en  $T$ .

Demostración:

Supongamos que  $\gamma := u_1 w_1$ -trayectoria está en  $T$ , como  $v_{1+1} \notin W$ , entonces  $v_{1+1} \notin \text{Ter}(T)$  y por consiguiente  $\text{val}_T(v_{1+1}) \geq 2$ , por lo tanto existen  $u_{j_1}, \dots, u_{j_r} \in V(T)$  tales que las trayectorias  $u_{j_1} v_{1+1}, \dots, u_{j_r} v_{1+1}$  sí están en  $T$ , ninguna de las cuales contiene a algún  $w_1$  (fig.34).



Em T:

$$\text{val}_T(v_{i+1}) \geq 2$$

Las líneas punteadas  
representan las posibles  
trayectorias en T de  
 $v_{i+1}$  a  $\mu_{j_k}$

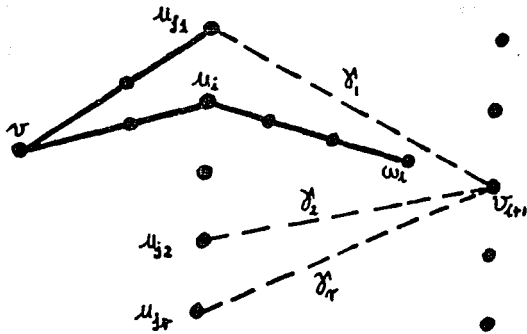


figura 34

Consideremos  $G = T \cup \omega_i v_{i+1}$ , obtenemos así un gráfico con un ciclo del cual forma parte alguna de las  $\omega_i v_{i+1}$ -trayectorias (fig. 35), sea ésta  $\gamma_1$

Em G:

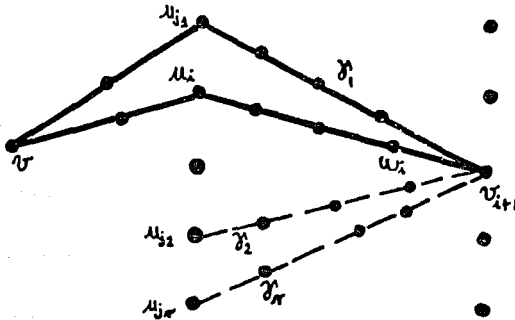


figura 35

y consideremos  $T_1 = G - \overset{\circ}{\gamma}_1$  (fig. 36), entonces  $T_1$  es un árbol tal que  $W \subseteq S$  y  $q(T_1) < q(T)$ , lo cual demuestra la afirmación.  $\square$

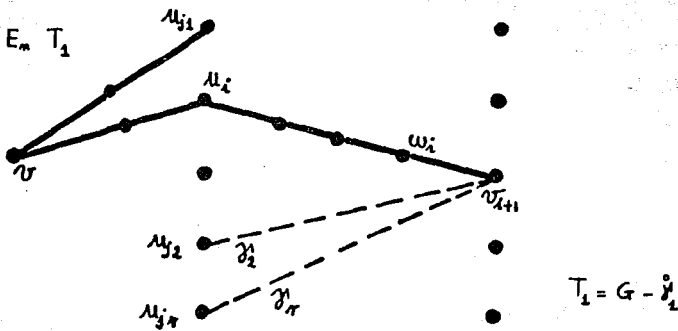


figura 36

3.17 Lema

Si la trayectoria  $u_1 w_1$  está en  $T$ , entonces la trayectoria  $vu_1$  también está en  $T$ .

Demostración:

Supongamos que la trayectoria  $vu_1$  no está en  $T$ .

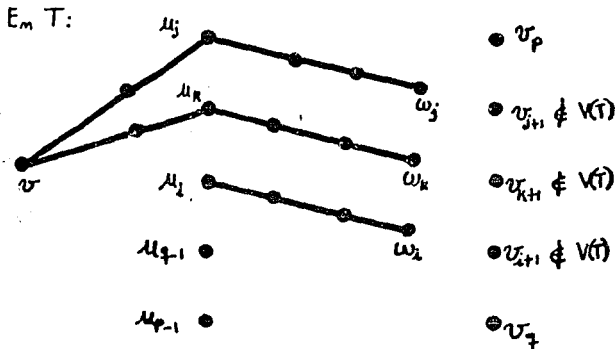


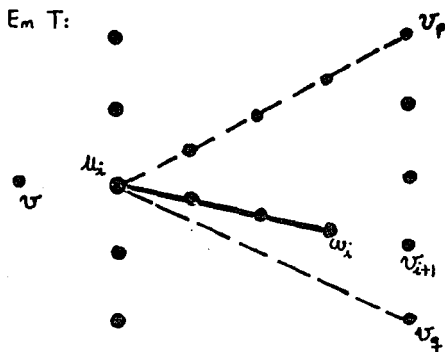
figura 37

Por el lema 3.15 existen  $j \neq k$  tales que las trayectorias  $vu_j w_j$  y  $vu_k w_k$  sí están en  $T$ . Por el lema 3.16, los vértices  $\nu_{k+1}$ ,  $\nu_{j+1}$ , y

$v_{i+1}$  no están en  $T$  (fig. 37).

Sean  $v_p$  y  $v_q$  los dos vértices restantes de  $V$  (fig. 37).

Como  $u_i \notin \text{Ter}(T)$ , entonces la  $\text{val}_T(u_i) \geq 2$  (fig. 38).



Como  $\text{val}_T(u_i) \geq 2$ ,  
entonces, o la trayectoria  
de  $u_i$  a  $v_p$  está en  $T$ ,  
o la de  $u_i$  a  $v_q$ ,  
o ambas.

figura 38

Caso 1. Si  $v_q, v_p \notin V(T)$ ,  $T$  sería el árbol  $T'$  de la figura 30 que contiene todas las trayectorias de  $v$  a  $u_i$  para toda  $i$ .

Caso 2. Si  $\{v_q, v_p\} \subseteq V(T)$ , por el lema anterior las aristas  $w_{p-1}v_p$  y  $w_{q-1}v_q$  sí están en  $T$  (fig. 39),

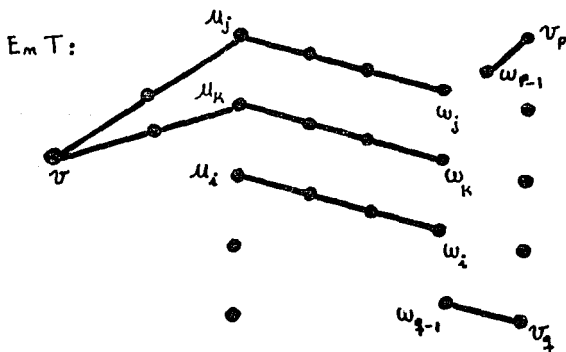
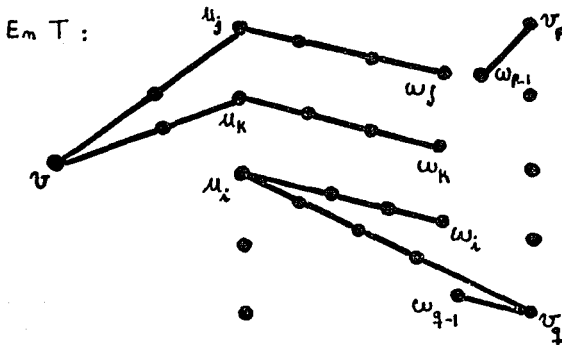


figura 39

además, podemos suponer sin pérdida de generalidad que la

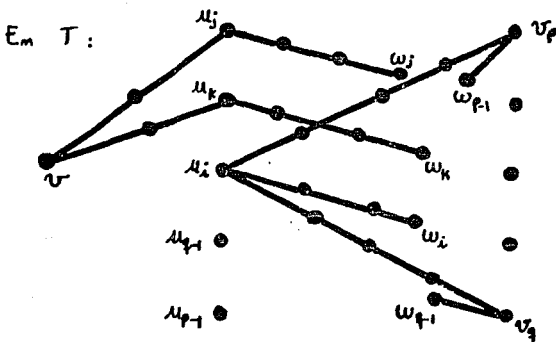
trayectoria  $u_1 v_q$  está en  $T$ , si no, la trayectoria  $u_1 v_p$  estaría en  $T$ .



Em el ejemplo, la trayectoria  $u_1 v_q$  está en  $T$ .

figura 40

Como  $T$  es conexo existe una trayectoria  $v_p u_s$  en  $T$ , si  $s \in \{1, j, k\}$ , entonces  $q(T) \geq 23$ , como  $T$  es conexo y la trayectoria  $u_1 v_q$  no está en  $T$ , entonces  $q(T) \geq 25$  lo cual es imposible.



Aquí,  $s=i$ .

figura 41

Si  $s \in \{1, j, k\}$ , entonces  $q(T) \geq 23$ , como  $T$  es conexo y la trayectoria  $u_1 v_q$  no está en  $T$ , entonces  $q(T) \geq 27$ , esto tampoco es posible.

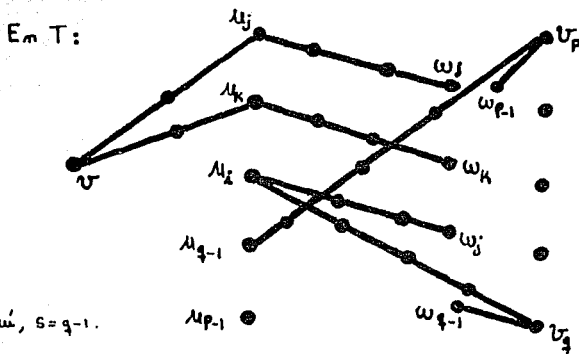


figura 42

Caso 3. Si  $v_p \in V(T)$  y  $v_q \in V(T)$ , entonces la trayectoria  $u_{p-1}w_{p-1}$  está en  $T$  y además, también está la trayectoria  $u_1v_q$  (ya que  $\text{val}(u_1) \geq 2$ ) y por lo tanto también la arista  $w_{q-1}v_q$ .

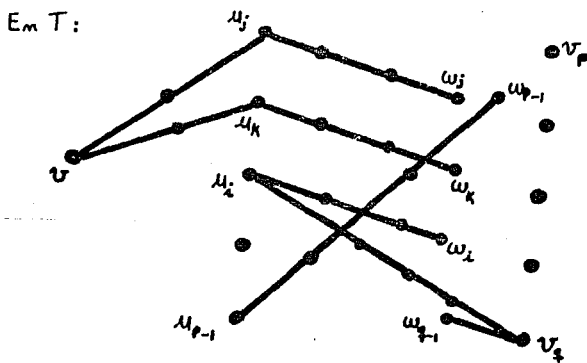


figura 43

Como  $T$  es conexo, si la trayectoria  $vu_{p-1}$  está en  $T$ , entonces  $q(T) \geq 23$ , pero la trayectoria  $vu_1$  no está en  $T$  y  $T$  es conexo por lo que  $q(T) > 25$  lo cual no es posible (fig. 44).

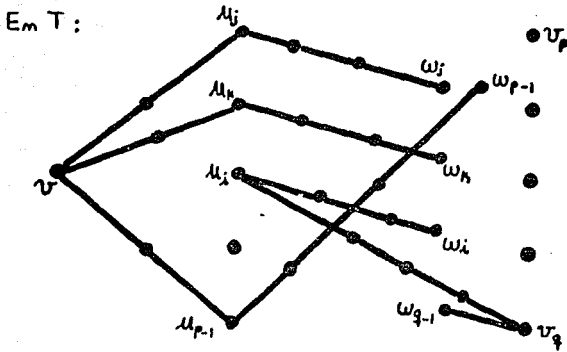
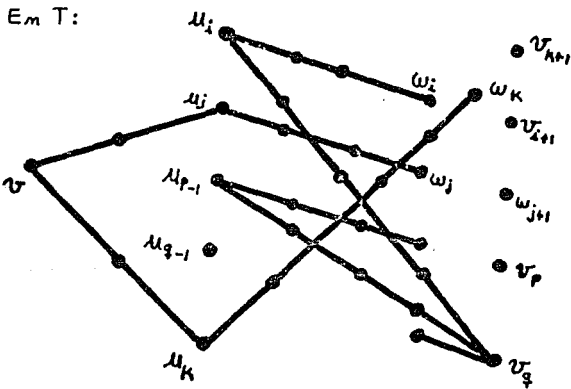


figura 44

Si la trayectoria  $u_{p-1}v_q$  está en T, entonces  $q(T) \geq 25$ , pero la trayectoria  $\nu_i$  no está en T y T es conexo por lo que  $q(T) \geq 27$  y esto no puede suceder (fig. 45).



El orden de los vértices está cambiado lo cual, por supuesto, es secundario.

figura 45

El caso en el que  $v_p \in V(T)$  y  $v_q \notin V(T)$  es análogo al inmediato anterior.

Lo expuesto en los casos 1, 2 y 3 demuestra el lema 3.17.  $\square$

### 3.18 Lema

T contiene cinco trayectorias de longitud cinco ajenas en aristas dos a dos.

Demostración:

Sea  $w_i \in V(T)$ , como  $w_i \in \text{Ter}(T)$  para toda  $1 \leq i \leq 5$ , tenemos que para cada uno de ellos o bien la arista  $w_i v_{i+1}$  o la trayectoria  $u_i w_i$  está en T:

i. si la arista  $w_j v_{j+1}$  está en T, entonces por ser T conexo existe al menos una  $\gamma_1 := v_{j+1} u_p$ -trayectoria en T para alguna  $p \neq j$  tal que  $w_j \in V(\gamma_1)$  para toda j, y  $q(\gamma_1) + q(w_i v_{i+1}) = 5$  (fig. 46).

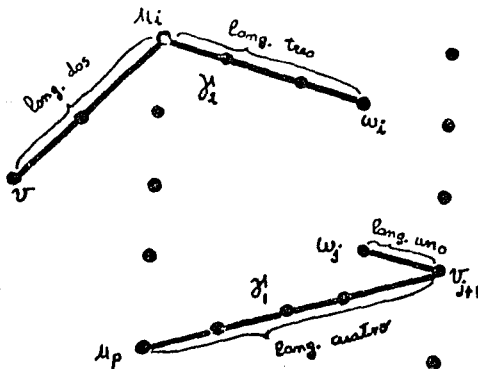


figura 46

ii. Si la trayectoria  $u_i w_i$  está en T, por el lema 3.15 la  $vu_i$ -trayectoria también está en T y,

$$q(\gamma_2) = q(vu_i w_i\text{-trayectoria}) = 5 \text{ (fig. 46).}$$

Cualesquiera dos trayectorias de la forma  $w_i v_{i+1} u_p$  son ajenas en aristas dos a dos (fig.47).

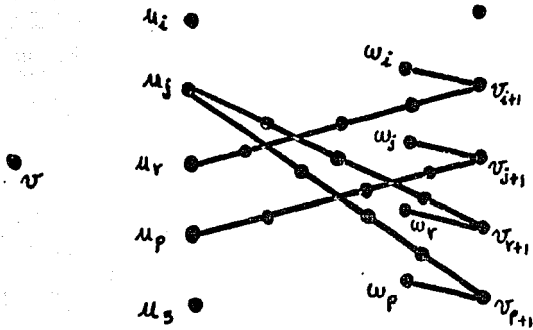


figura 47

Cualquier par de trayectorias de la forma  $\nu_i \omega_j$  son ejenas en aristas dos a dos (fig. 48).

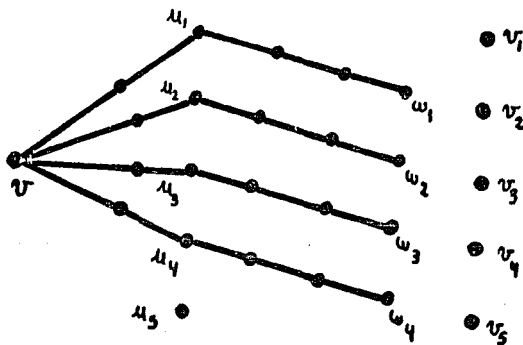
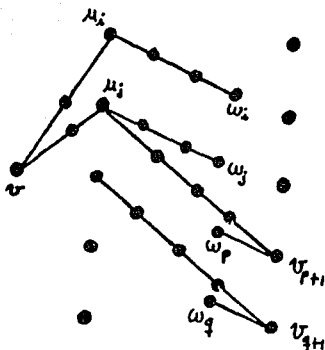
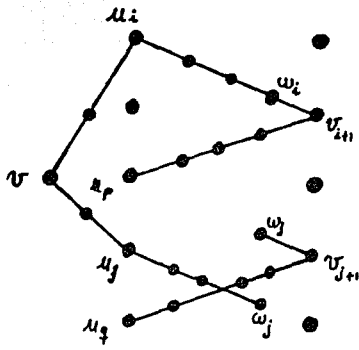


figura 48

Una trayectoria de la forma  $\omega_i \nu_{i+1} \mu_p$  con otra trayectoria  $\nu_j \omega_j$  son ajenas en aristas dos a dos (fig. 49a), nótese que no es posible que  $\omega_i$ , para alguna  $i$ , esté en la intersección de dos de ellas pues  $\omega_i \in \text{Ter}(T)$  (fig. 49b).



- a -



- b -

figura 49

Lo anterior demuestra el lema 3.18.

Por lo tanto  $q(T) \geq 25$ , y como vimos que  $q(T) \leq 25$  (buscar fig.30) resulta que  $q(T) = 25$ , esto demuestra el lema para el caso en que  $v \in V(T)$ . (Algunos ejemplos se muestran en la fig. 50).  $\square$

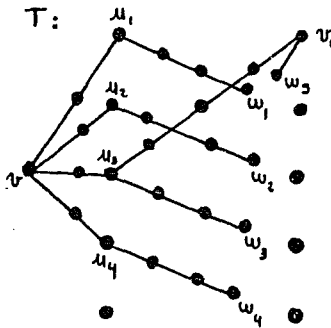
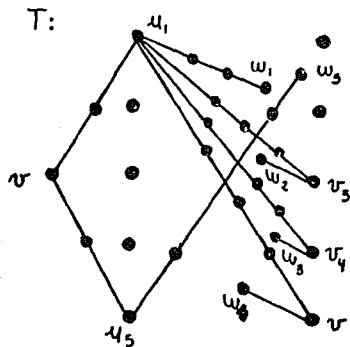


figura 50

II. Supongamos ahora que  $v \notin V(T)$ .

Consideremos todas las aristas de la forma  $w_j v_{j+1}$  que hay en T y todos los vértices de  $U \cap V$  que estén en T; sean:

$r := |\{w_j v_{j+1}, \text{ tal que } w_j v_{j+1} \in A(T)\}|$  y  $h := |(U \cup V) \cap V(T)|$ .

Observemos la figura 51. Si para todas las aristas de la forma  $w_j v_{j+1}$  en  $T$  (fig. 51a) quitamos cada uno de los vértices  $w_j$  obtendremos nuevamente un árbol  $T_1$  (fig. 51b). Si nos fijamos en los vértices  $w_1$  de  $T_1$ , como ya vimos con anterioridad estarán unidos a algún  $u_1$  por medio de una trayectoria  $\gamma_1$ , cuyos vértices interiores tienen todos valencia dos, si quitamos de  $T_1$  los interiores de estas trayectorias junto con el correspondiente vértice  $w_1$ , obtendremos nuevamente un árbol  $T'$  (fig. 51c), que contiene a  $(U \cap V) \cap V(T)$ .

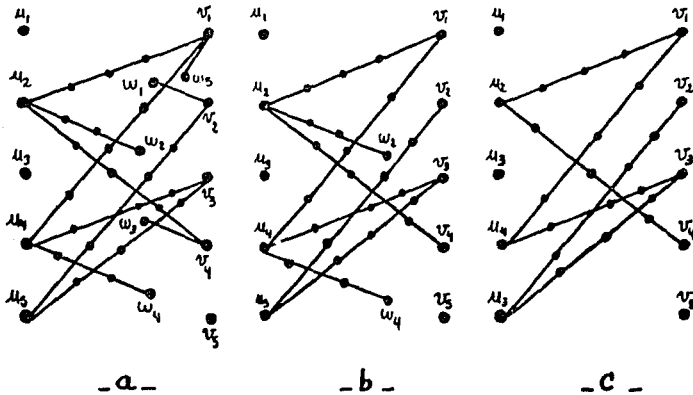


figura 51

Por el lema 3.10, sabemos que  $q(T') \geq 4(h - 1)$ , como  $T$  tiene  $r$  aristas de la forma  $w_j v_{j+1}$  y  $5 - r$  trayectorias de longitud tres de la forma  $u_1 w_1$ , tenemos que  $q(T) \geq r + 3(5 - r) + 4(h - 1)$ . Por el lema 3.11  $h \geq 5$ , entonces:

Si  $r = 1$   $q(T) \geq 29$ .

Si  $r = 2$   $q(T) \geq 27$ .

Si  $r = 3$   $q(T) \geq 25$ , (fig. 52).

Si  $r = 4$ , entonces  $|V(T) \cap V| \geq 4$  y por el lema 3.12

$h \geq 6$ , así que  $q(T) \geq 27$ .

Si  $r = 5$ , entonces  $|V(T) \cap V| \geq 5$  y por el lema 3.12

$h \geq 7$  así que  $q(T) \geq 29$ .

Vimos que  $q(T) \leq 25$  (buscar fig. 30), por lo que para  $r = 1, 2, 4$  y 5 no se obtienen árboles de Steiner, sólo en el caso en que  $r = 3$ , por lo tanto,  $q(T) = 25$  que es lo que se quería demostrar.  $\square$

Veamos un ejemplo en la siguiente figura:

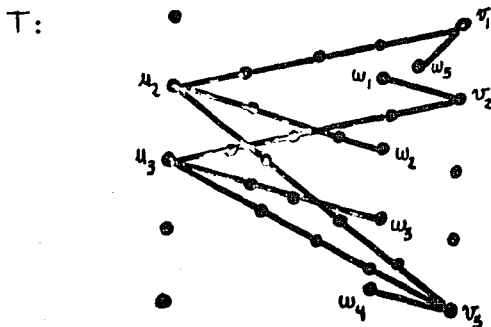


figura 52

LA FUNCION  $\psi(n)$ 

Para cada  $n$  natural, consideremos el conjunto:

$$S_n = \left\{ \frac{\text{diám}_n G}{\text{rad}_n G}; \text{ tal que } G \text{ es una gráfica conexa de orden } p \geq n \right\},$$

$S_n$  está acotado superiormente:

Sea  $G$  una gráfica conexa de orden  $p \geq n$ ,  $n \geq 2$ , entonces:

$$\text{diám}_n G \leq 2 \text{rad}_n G.$$

Demostración:

Sea  $S \subseteq V(G)$ ,  $|S| = n$ , tal que  $\text{diám}_n G = d(S)$ .

Sea  $v_0 \in V(G)$  tal que  $e_n(v_0) = \text{rad}_n G$ ; sean  $v_1, v_2 \in S$ , y sean  $S_1$  y  $S_2 \subseteq S$  tales que  $S_1 = (S - \{v_1\}) \cup \{v_0\}$  y  $S_2 = (S - \{v_2\}) \cup \{v_0\}$ , como  $d(S_1) \leq \text{rad}_n G$  y  $d(S_2) \leq \text{rad}_n G$ , se tiene que  $\text{diám}_n G \leq d(S_1) + d(S_2) \leq \text{rad}_n G + \text{rad}_n G = 2 \text{rad}_n G$ , esto es,  $\text{diám}_n G \leq 2 \text{rad}_n G$ .  $\square$

Además,  $S_n$  es no vacío, por lo cual podemos definir  $\psi(n) := \sup S_n$ . Por lo tanto  $\text{diám}_n G \leq \psi(n) \text{rad}_n G$  para toda gráfica conexa  $G$  de orden  $p \geq n$ , y  $\psi(n)$  es el menor número real con esta propiedad. El problema central de [6] es encontrar el supremo del conjunto  $S_n$ .

Una reformulación del teorema 3.8 es la siguiente:

**4.1 Teorema.**  $\psi(n) \geq \frac{2(n+1)}{2n-1}$ .

## ESTIMACION DE $\psi(n)$ PARA $n = 3$

El siguiente resultado muestra que  $\psi(3) = \frac{8}{5}$ .

### 4.2 Proposición [6]

Si  $G$  es una gráfica de orden  $p \geq 3$ , entonces:

$$\text{diám}_3 G \leq \frac{8}{5} \text{rad}_3 G.$$

Demostración:

Sea  $G$  una gráfica conexa de orden  $p \geq 3$ . Sea  $\lambda \in \mathbb{R}$  tal que:

$$\text{diám}_3 G > \lambda \text{rad}_3 G. \quad (1)$$

Veremos que  $\lambda < \frac{8}{5}$  (y entonces se seguirá el resultado, pues si fuese falso el teorema tendríamos  $\frac{8}{5} < \frac{8}{5}$ ). Si  $\lambda \leq 0$  no hay nada que hacer, supondremos pues,  $\lambda > 0$ .

Sea  $D = \{v_1, v_2, v_3\}$  un subconjunto de  $V(G)$  que realiza el 3-dímetro de  $G$ .

Sea  $v_0 \in V(G)$  tal que  $v_0 \in C_3(G)$ , o lo que es lo mismo  $e_3(v_0) = \text{rad}_3 G$ .

Sea  $T_1$  un árbol de Steiner para  $D_1 = (\{v_0, v_1, v_2, v_3\} - \{v_1\})$ ,  $i = 1, 2, 3$ , como  $d(\{v_1, v_j, v_0\}) \leq \text{rad}_3$ , para  $1 \leq j \leq 3$ ,  $i \neq j$ , entonces  $q(T_1) \leq \text{rad}_3 G$ , y por (1) tenemos que  $q(T_1) < \frac{1}{\lambda} \text{diám}_3 G$ .

Ahora bien, la distancia más corta entre  $v_1$  ( $i = 1, 2, 3$ ) y cada vértice de  $T_1$  debe ser mayor que  $\frac{(\lambda-1)}{\lambda} \text{diám}_3 G$ , pues  $q(T_1) + d(v_1, T_1) \geq \text{diám}_3 G$ , y entonces  $d(v_1, T_1) \geq \text{diám}_3 G - q(T_1) > \text{diám}_3 G - \frac{1}{\lambda} \text{diám}_3 G$ , lo que da como resultado  $d(v_1, T_1) > \frac{(\lambda-1)}{\lambda} \text{diám}_3 G$ .

Por esta razón,  $d(v_k, v_j) > \frac{(\lambda-1)}{\lambda} \text{diám}_3 G$  para todas  $j, k$  tales que  $k \neq j$  y  $0 \leq k, j \leq 3$  (basta observar que para ir de  $v_k$  a  $v_j$  se "entra" a  $T_1$ ).

Si algún  $T_1$  es una trayectoria, sin pérdida de generalidad

supongamos que  $\text{Ter}(T_1) = \{v_k, v_j\}$ ,



figura 53

entonces  $q(T_1) = d(v_k, v_0) + d(v_0, v_j) > \frac{2(\lambda-1)}{\lambda} \text{diám}_3 G$ ,

y  $\frac{1}{\lambda} \text{diám}_3 G > q(T_1) > \frac{2(\lambda-1)}{\lambda} \text{diám}_3 G$ , de donde:

$$2\lambda - 2 < \lambda \Rightarrow 2\lambda < 3 \Rightarrow \lambda < \frac{3}{2} < \frac{8}{5}.$$

Si ningún  $T_i$  es una trayectoria, entonces  $T_i$  tiene exactamente tres vértices terminales para toda  $i$  (recordemos que  $\text{Ter}(T_i) = D_i$ ); consideremos  $P_1$ ,  $P_2$  y  $P_3$ , las trayectorias de  $v_2$  a  $v_3$  en  $T_1$ , de  $v_1$  a  $v_3$  en  $T_2$ , y de  $v_1$  a  $v_2$  en  $T_3$ , respectivamente (fig. 54).

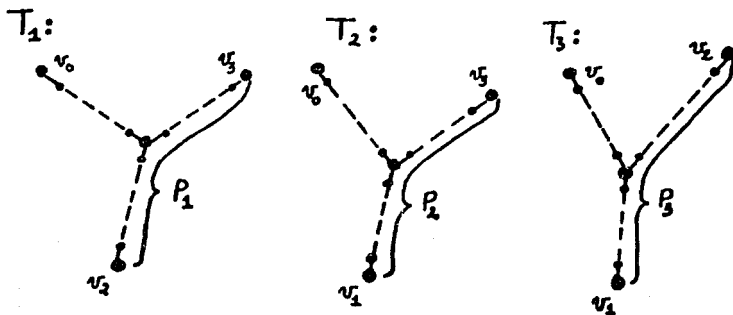


figura 54

Al menos dos de estas trayectorias tienen por lo menos como longitud  $\frac{1}{2} \text{diám}_3 G$ . Si no fuera así, dos de ellas tendrían longitud menor a  $\frac{1}{2} \text{diám}_3 G$  y su suma tendría un tamaño menor al  $\text{diám}_3 G$ , lo cual no puede suceder ya que:

$v_1, v_2, v_3 \in P_1 \cup P_j$  ( $1 \leq i, j \leq 3, i \neq j$ ).

Sin pérdida de generalidad supongamos que esas dos trayectorias son  $P_3$  y  $P_2$ .

Sea  $l = d_{T_2}(v_0, P_2)$ .

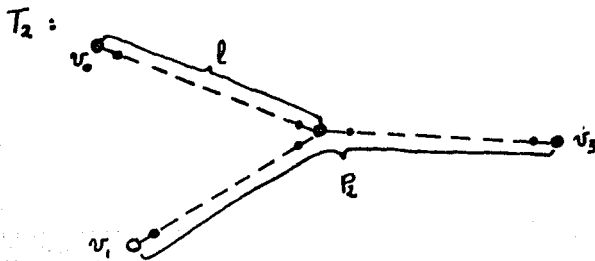


figura 55

entonces:

$$l = d_{T_2}(v_0, P_2) = q(T_1) - q(P_2) < \frac{1}{\lambda} \text{diám}_3 G - \frac{1}{2} \text{diám}_3 G = \frac{(2-\lambda)}{2\lambda} \text{diám}_3 G,$$

$$\text{esto es, } l < \frac{(2-\lambda)}{2\lambda} \text{diám}_3 G, \quad (2)$$

Sea  $Q_1$  la  $v_0 v_1$ -trayectoria en  $T_2$  para  $i = 1, 3$ ,

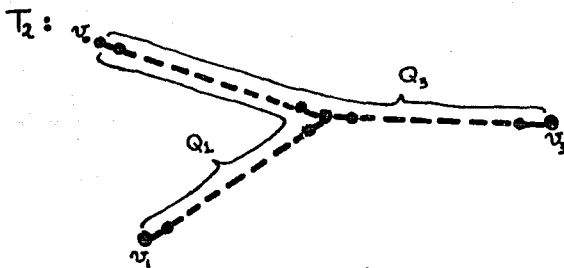


figura 56

Observemos que  $q(T_2) + l = q(Q_1) + q(Q_3)$ , y que

$$q(T_1) + q(Q_1) \geq \text{diám}_3 G \text{ para } i = 1, 3,$$

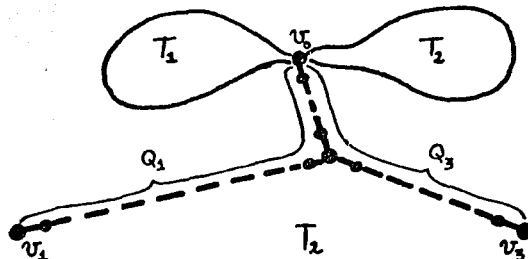


figura 57

por lo cual:

$$\left( \sum_{i=1}^3 q(T_i) \right) + 1 = q(T_1) + q(T_2) + q(T_3) + 1 = \\ = q(T_1) + q(Q_1) + q(Q_3) + q(T_3) \geq 2 \text{ diám}_3 G.$$

como  $q(T_1) \leq \text{rad}_3 G$ ,  $3 \text{ rad}_3 G + 1 \geq \left( \sum_{i=1}^3 q(T_i) \right) + 1 \geq 2 \text{ diám}_3 G$ ,

así que  $1 \geq 2 \text{ diám}_3 G - 3 \text{ rad}_3 G$ , sabemos que  $\text{rad}_3 G < \frac{1}{\lambda} \text{ diám}_3 G$ ,

entonces  $1 > 2 \text{ diám}_3 G - \frac{3}{\lambda} \text{ diám}_3 G \Rightarrow 1 > \frac{2\lambda-3}{\lambda} \text{ diám}_3 G$ , y por (2)

$$\frac{2\lambda-3}{\lambda} \text{ diám}_3 G < 1 < \frac{(2-\lambda)}{2\lambda} \text{ diám}_3 G,$$

de donde  $\frac{2\lambda-3}{\lambda} < \frac{(2-\lambda)}{2\lambda} \Rightarrow 4\lambda - 6 < 2 - \lambda \Rightarrow 5\lambda < 8 \Rightarrow \lambda < \frac{8}{5}$ ,

lo cual verifica el teorema.  $\square$

**4.3 Corolario.**  $\psi(3) = \frac{8}{5}$ .

#### ESTIMACION DE $\psi(n)$ PARA $n = 4$

Veremos ahora que  $\psi(4) \leq \frac{45}{31}$ . Obsérvese que,

$$\frac{2(n+1)}{2n-1} < \frac{45}{31} < 1 + \frac{2}{n} \quad (\text{cfr. teoremas 4.1 y 5.2}).$$

#### 4.4 Proposición

Si  $G$  es una gráfica conexa de orden  $p \geq 4$ , entonces:

$$\text{diám}_4 G \leq \frac{45}{31} \text{ rad}_4 G.$$

**Demostración:**

Sea  $G$  una gráfica conexa  $G$  de orden  $p > 4$ . Sea  $\lambda \in \mathbb{R}$  tal que:

$$\text{diám}_4 G > \lambda \text{ rad}_4 G. \quad (1)$$

Veremos que  $\lambda < \frac{45}{31}$ . Tomaremos  $\lambda > 0$ , de lo contrario no hay nada que hacer.

Sea  $D = \{v_1, v_2, v_3, v_4\}$  un conjunto de vértices de  $G$  que realiza el 4-diámetro de  $G$ .

Sea  $v_0 \in C_4(G)$ , esto es,  $e_4(v_0) = \text{rad}_4 G$ .

Sea  $T_1$  un árbol de Steiner para  $D_1 = (D - \{v_1\}) \cup \{v_0\}$ , para  $1 \leq i \leq 4$ , entonces  $q(T_1) \leq \text{rad}_4 G$ , y por (1),

$$q(T_1) < \frac{1}{\lambda} \text{diám}_4 G. \quad (2)$$

Si unimos una de las trayectorias de mínimo tamaño posible de  $v_1$  a  $T_1$  con  $T_1$  obtenemos un árbol que contiene a  $D$  y por lo tanto de tamaño al menos  $\text{diám}_4 G$ , esto es:

$$q(T_1) + d(v_1, T_1) \geq \text{diám}_4 G,$$

$$\text{de donde } d(v_1, T_1) \geq \text{diám}_4 G - q(T_1),$$

$$\text{y por (2) } d(v_1, T_1) > \text{diám}_4 G - \frac{1}{\lambda} \text{diám}_4 G,$$

$$\text{así } d(v_1, T_1) > \frac{(\lambda-1)}{\lambda} \text{diám}_4 G. \text{ En particular:}$$

$$d(v_1, v_k) > \frac{(\lambda-1)}{\lambda} \text{diám}_4 G, \text{ con: } i \neq k \text{ y } 0 \leq i, k \leq 4. \quad (3)$$

1. Si algún  $T_i$  fuera una trayectoria (fig. 58), entonces, por (2) y (3):  $\frac{1}{\lambda} \text{diám}_4 G > q(T_1) > \frac{3(\lambda-1)}{\lambda} \text{diám}_4 G$  de donde se deduce que,

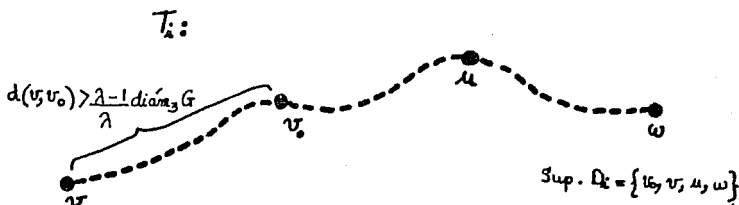


figura 58

$$\frac{1}{\lambda} > \frac{3(\lambda-1)}{\lambda} \Rightarrow 1 < 3\lambda - 3 \Rightarrow 4 > 3\lambda \Rightarrow \lambda < \frac{4}{3} < \frac{9}{5}.$$

2.  $|\text{Ter}(T_1)| = 3$ , para alguna  $i$ .

Pongamos que  $\text{Ter}(T_1) = \{u_1, u_2, u_3\}$ .

Sea  $u_4$  el vértice restante de  $D_1$  en  $T_1$  y sea  $w$  el vértice de grado tres en  $T_1$ . Podemos suponer sin pérdida de generalidad, que  $u_4$  está en la trayectoria  $u_1 w$  de  $T_1$  (fig. 59).

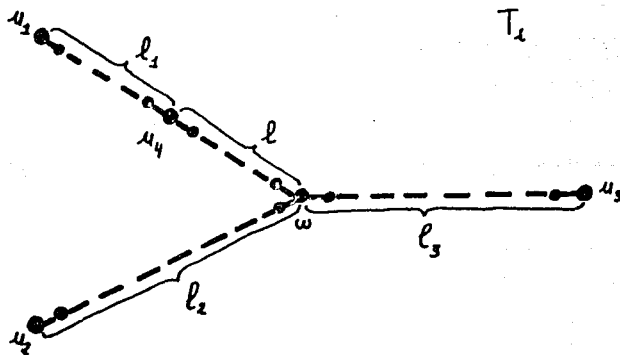


figura 59

Sean:  $l_1$ ,  $l$ ,  $l_2$ , y  $l_3$  las longitudes de las trayectorias:  $u_1 u_4$ ,  $u_4 w$ ,  $u_2 w$  y  $u_3 w$ , en  $T_1$ , respectivamente, (nótese que  $l \geq 0$ ).

Como  $d(u_i, u_k) > \frac{(\lambda-1)}{\lambda} \text{diám}_4 G$ , con:  $i \neq k$  y  $0 \leq i, k \leq 4$ , tenemos que las sumas de las longitudes  $l + l_2$ ,  $l_2 + l_3$ , y  $l_3 + l$  son cada una mayor que  $\frac{(\lambda-1)}{\lambda} \text{diám}_4 G$ , por lo que,

$$2(l + l_2 + l_3) > \frac{3(\lambda-1)}{\lambda} \text{diám}_4 G, \text{ o lo que es lo mismo,}$$

$$(l + l_2 + l_3) > \frac{3(\lambda-1)}{2\lambda} \text{diám}_4 G.$$

Sabemos que  $l_1 > \frac{(\lambda-1)}{\lambda} \text{diám}_4 G$ , en consecuencia,

$$q(T_1) = l + l_1 + l_2 + l_3 > \frac{(\lambda-1)}{\lambda} \text{diám}_4 G + \frac{3(\lambda-1)}{2\lambda} \text{diám}_4 G,$$

lo cual implica que,

$$q(T_1) > \frac{5(\lambda-1)}{2\lambda} \text{diám}_4 G, \text{ y como } q(T_1) < \frac{1}{\lambda} \text{diám}_4 G, \text{ entonces,}$$

$$\frac{1}{\lambda} > \frac{5(\lambda-1)}{2\lambda} \Rightarrow 2 > 5(\lambda-1) \Rightarrow 7 > 5\lambda \Rightarrow \lambda < \frac{7}{5} < \frac{45}{31};$$

3. Si ningún  $T_1$  es trayectoria, ni árbol con tres vértices terminales, entonces  $T_1$  tiene exactamente cuatro vértices terminales para toda  $i$ , esto es,  $\text{Ter}(T_1) = D_1$  ( $1 \leq i \leq 4$ ).

$$\text{Sea } \text{Ter}(T_1) = \{v_0, v_{11}, v_{12}, v_{13}\}^B.$$

Sea  $P_{1j}$  la trayectoria más corta en  $T_1$  de  $v_{1j}$  a un vértice de grado al menos tres en  $T_1$  para  $1 \leq j \leq 3$ . Además, sea  $P_{10}$  la trayectoria más corta de  $v_0$  a un vértice de grado al menos tres en  $T_1$ . Podemos suponer que  $P_{11}$ ,  $P_{12}$ ,  $P_{13}$ , y  $P_{10}$  son trayectorias de  $v_{11}$  a  $w_1$ , de  $v_{12}$  a  $w_1$ , de  $v_{13}$  a  $u_1$ , y de  $v_0$  a  $u_1$ , respectivamente, y  $P_1$  la trayectoria de  $u_1$  a  $w_1$ , donde  $u_1$  y  $w_1$  son los vértices de grado al menos tres en  $T_1$ , es posible que  $u_1 = w_1$ , en cuyo caso la longitud de  $P_1$  sería cero y  $\text{val}(u_1) = 4$ . Veamos la figura 60:

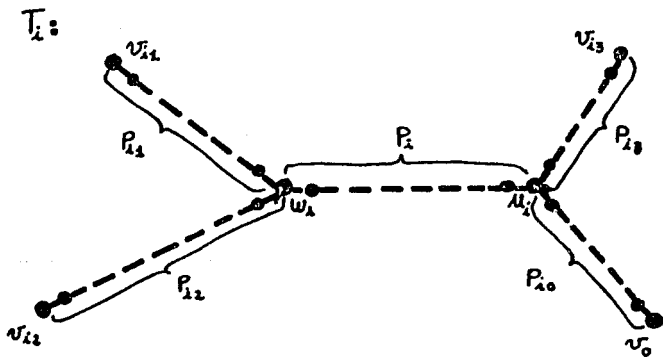


figura 60

Para  $i = 1, 2, 3, 4$ , y  $j = 0, 1, 2, 3$ , sea  $q(P_{1j}) = 1_{ij}$  y

<sup>B</sup> Los subíndices  $i, j$  representan una función  $\varphi(v) = (i, j)$  donde  $i$  representa el árbol en que estamos considerando a  $v_{1j}$  y  $j$  el lugar que ocupa en  $T_1$ .

$q(P_1) = l_1$  (recordemos que  $l_1 = 0$ , si  $w_1 = u_1$ ).

Como  $d(v_i, v_j) > \frac{(\lambda-1)}{\lambda} \text{diám}_4 G$ ,  $0 \leq i, j \leq 4$ ,  $i \neq j$ ,

cada una de las sumas de las longitudes:  $l_{11} + l_{12}$ ,

$l_{11} + l_1 + l_{13}$ , y  $l_{12} + l_1 + l_{13}$  es mayor que  $\frac{(\lambda-1)}{\lambda} \text{diám}_4 G$ ,

por lo que:  $2(l_{11} + l_{12} + l_{13} + l_1) > \frac{3(\lambda-1)}{\lambda} \text{diám}_4 G$ , o lo que es

lo mismo:  $(l_{11} + l_{12} + l_{13} + l_1) > \frac{3(\lambda-1)}{2\lambda} \text{diám}_4 G$ .

Como:  $q(T_1) = l_{10} + (l_{11} + l_{12} + l_{13} + l_1)$ , entonces,

$\frac{1}{\lambda} \text{diám}_4 G > q(T_1) > l_{10} + \frac{3(\lambda-1)}{2\lambda} \text{diám}_4 G$ , de lo cual, resulta que

$l_{10} < \left( \frac{1}{\lambda} - \frac{3(\lambda-1)}{2\lambda} \right) \text{diám}_4 G$ , es decir:  $l_{10} < \frac{2-3(\lambda-1)}{2\lambda} \text{diám}_4 G$ ;

ahora bien:  $l_{13} + l_{10} > \frac{(\lambda-1)}{\lambda} \text{diám}_4 G$ , y entonces:

$l_{13} > \left( \frac{(\lambda-1)}{\lambda} - \frac{2-3(\lambda-1)}{2\lambda} \right) \text{diám}_4 G$ , de donde,

$l_{13} > \frac{5(\lambda-1)-2}{2\lambda} \text{diám}_4 G$ . Intercambiando los papeles de  $l_{10}$  y  $l_{13}$

en el argumento anterior, obtendremos que  $l_{13} < \frac{2-3(\lambda-1)}{2\lambda} \text{diám}_4 G$ , y

que  $l_{10} > \frac{5(\lambda-1)-2}{2\lambda} \text{diám}_4 G$ . De lo cual resulta que:

$$\frac{5\lambda-7}{2\lambda} \text{diám}_4 G < l_{10} < \frac{5-3\lambda}{2\lambda} \text{diám}_4 G. \quad (4)$$

Llamaremos  $T'_1$  al subárbol obtenido de  $T_1$  quitándole todos los vértices de  $P_{10}$  excepto  $u_1$ , (para  $1 \leq i \leq 4$ ) (fig. 61).

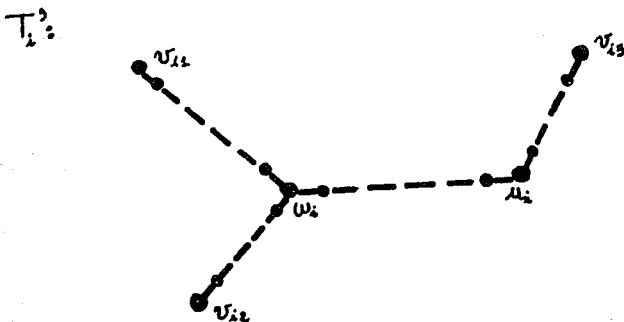


figura 61

Como  $l_{10} > \frac{5\lambda-7}{2\lambda} \text{ diám}_4 G$ , para toda  $1 \leq i \leq 4$ , entonces,

$$q(T'_1) = q(T_1) - l_{10} < \left( \frac{1}{\lambda} - \frac{5\lambda-7}{2\lambda} \right) \text{ diám}_4 G, \text{ esto es:}$$

$$q(T'_1) < \frac{9-5\lambda}{2\lambda} \text{ diám}_4 G. \quad (5)$$

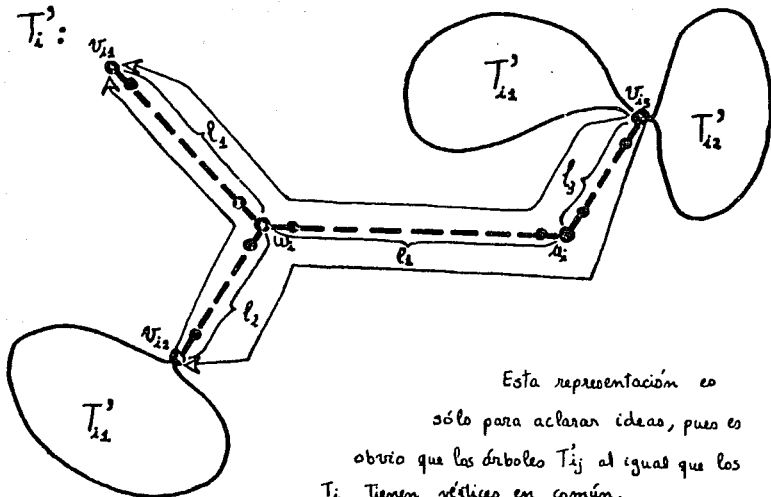
Sea  $i \in \{1, 2, 3, 4\}$  fija. Observemos que  $T'_{11}$  junto con la trayectoria de  $v_{11}$  a  $v_{12}$  en  $T_1$  forma una gráfica conexa que contiene a todo  $D$ . Lo mismo ocurre con  $T'_{11}$  y  $T'_{12}$  al unirles las trayectorias  $v_{11}v_{13}$ , y  $v_{12}v_{13}$  de  $T_1$ .

Obtenemos como resultado que (fig 62):

$$q(T'_{11}) + l_{11} + l_{12} \geq \text{diám}_4 G,$$

$$q(T'_{11}) + l_{11} + l_1 + l_{13} \geq \text{diám}_4 G, \text{ y:}$$

$$q(T'_{12}) + l_{12} + l_1 + l_{13} \geq \text{diám}_4 G,$$



Esta representación es sólo para aclarar ideas, pues es obvio que los árboles  $T'_{ij}$  al igual que los  $T_i$  tienen vértices en común.

figura 62

de estas desigualdades y de (5) obtenemos:

$$5 \left( \frac{9-5\lambda}{2\lambda} \right) \text{ diám}_4 G > 2q(T'_{11}) + q(T'_{12}) + 2q(T'_1) \geq 3 \text{ diám}_4 G,$$

1. Si algún  $T_1$  fuera una trayectoria (fig. 63)

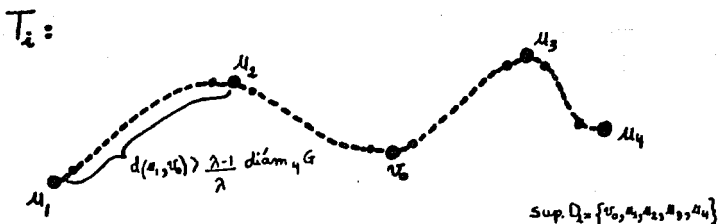


figura 63

tendríamos que,  $\frac{1}{\lambda} \text{diám}_5 G > q(T_1) > \frac{4(\lambda-1)}{\lambda} \text{diám}_5 G$ , de donde se deduce que,  $1 > 4\lambda - 4 \Rightarrow 5 > 4\lambda \Rightarrow \lambda < \frac{5}{4} < \frac{51}{37}$ .

2. Supongamos ahora que  $|\text{Ter}(T_1)| = 3$ , para alguna  $i$ , y que  $\text{Ter}(T_1) = \{u_1, u_2, u_3\}$ , sean  $u_4$  y  $u_5$  los vértices restantes de  $D_1$  en  $T_1$  y sea  $w$  el vértice de grado tres en  $T_1$ .

2a. Analicemos primero el caso en el que  $u_5$  y  $u_4$  están en distintas ramas de  $T_1$ . Digamos que  $u_4$  está en la trayectoria  $u_1 w$ , y que  $u_5$  está en la trayectoria de  $u_2$  a  $w$  (fig. 64).

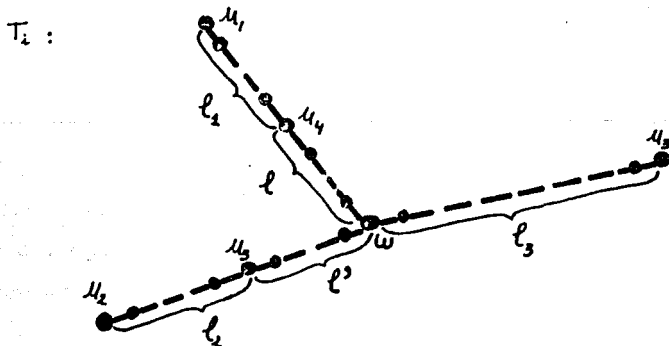


figura 64

Sean:  $l_1, l_2, l_3, l$ , y  $l'$  las longitudes de las trayectorias

de donde:

$$5 \left( \frac{9 - 5\lambda}{2\lambda} \right) > 3 \Rightarrow 45 > 31\lambda \Rightarrow \lambda < \frac{45}{31};$$

Con lo cual queda demostrado lo que se quería.  $\square$

**4.5 Corolario.**  $\psi(4) \leq \frac{45}{31}$ .

#### ESTIMACION DE $\psi(n)$ PARA $n = 5$

Mostraremos ahora que  $\psi(5) \leq \frac{51}{37}$ , obsérvese aquí también, que

$$\frac{2(n+1)}{2n-1} < \frac{51}{37} < 1 + \frac{2}{n} \quad (\text{cfr. teoremas 4.1 y 5.2}).$$

#### 4.6 Proposición

Sea  $G$  una gráfica conexa de orden  $p \geq 5$ , entonces:

$$\text{diám}_5 G \leq \frac{51}{37} \text{rad}_5 G.$$

Demostración:

Sea  $G$  una gráfica conexa de orden  $p \geq 5$ . Sea  $\lambda \in \mathbb{R}$  tal que:

$$\text{diám}_5 G > \lambda \text{rad}_5 G. \quad (1)$$

Veremos que  $\lambda < \frac{51}{37}$ . Nuevamente  $\lambda > 0$ .

Sea  $D = \{v_1, v_2, v_3, v_4, v_5\}$  un subconjunto de vértices de  $G$  que realiza el 5-diámetro de  $G$ .

Sea  $v_0 \in C_5(G)$ , esto es,  $e_5(v_0) = \text{rad}_5 G$ .

Sea  $T_1$  un árbol de Steiner para  $D_1 = (D - \{v_1\}) \cup \{v_0\}$ ,  $1 \leq i \leq 5$ , entonces,  $q(T_1) \leq \text{rad}_5 G$ , y por (1),

$$q(T_1) < \frac{1}{\lambda} \text{diám}_5 G. \quad (2)$$

Una vez más, al unir una de las trayectorias de mínimo tamaño posible de  $v_1$  a  $T_1$  con  $T_1$ , se obtiene un árbol que contiene a  $D$  y por lo tanto de tamaño al menos  $\text{diám}_5 G$ . Haciendo cuentas, tenemos

que  $d(v_1, T_1) > \frac{(\lambda-1)}{\lambda} \text{diám}_5 G$ , y como consecuencia:

$$d(v_1, v_j) > \frac{(\lambda-1)}{\lambda} \text{diám}_5 G, \quad (3)$$

para todas  $i, j$ , tales que  $0 \leq i, j \leq 5$ ,  $i \neq j$ .

$u_1 u_4$ ,  $u_2 u_5$ ,  $u_3 w$ ,  $u_4 w$ , y  $u_5 w$  respectivamente; ( ver fig. 64, notemos que  $l \geq 0$  y/o  $l' \geq 0$ ).

Por (3), cada una de las cantidades de las longitudes:  $l_1$ ,  $l_2$ ,  $l + l_3$ ,  $l + l'$ , y  $l' + l_3$ , es mayor que  $\frac{(\lambda-1)}{\lambda}$  diám<sub>5</sub>G, sumando las tres últimas obtenemos  $l + l' + l_3 > \frac{3(\lambda-1)}{2\lambda}$  diám<sub>5</sub>G; como  $q(T_1) = l_1 + l_2 + l_3 + l + l'$ , tenemos que:

$$q(T_1) > \left\{ \frac{3}{2} + 2 \right\} \left( \frac{\lambda-1}{\lambda} \right) \text{ diám}_5 G, \text{ esto es,}$$

$$q(T_1) > \frac{7}{2} \frac{(\lambda-1)}{\lambda} \text{ diám}_5 G. \quad (4)$$

Por (1), tenemos que  $\frac{1}{\lambda}$  diám<sub>5</sub>G  $>$   $\frac{7}{2} \frac{(\lambda-1)}{\lambda}$  diám<sub>5</sub>G, de donde,  $2 > 7(\lambda - 1)$  y en consecuencia,

$$2 > 7\lambda - 7 \Rightarrow 9 > 7\lambda \Rightarrow \lambda < \frac{9}{7} < \frac{51}{37}.$$

2b. Veamos ahora el caso en que  $u_4$  y  $u_5$  están en la misma rama de  $T_1$ , digamos en la trayectoria  $u_1 w$  (fig. 65, recordemos que  $l \geq 0$  y/o  $l' \geq 0$ ).

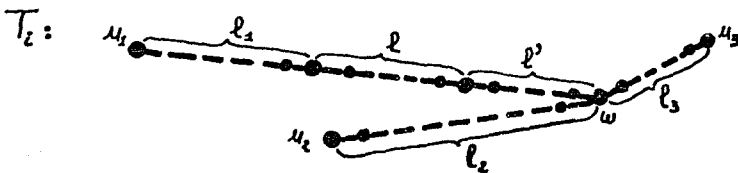


figura 65

Por (3), tenemos que cada una de las cantidades de las longitudes  $l_1$ ,  $l$ ,  $l_2 + l'$ ,  $l_3 + l'$ , y  $l_2 + l_3$ , es mayor que  $\frac{(\lambda-1)}{\lambda}$  diám<sub>5</sub>G, de donde  $l_2 + l' + l_3 > \frac{3(\lambda-1)}{2\lambda}$  diám<sub>5</sub>G, en consecuencia y por (1), tenemos que:

$$\frac{1}{\lambda} \text{ diám}_5 G > \frac{7}{2} \frac{(\lambda-1)}{\lambda} \text{ diám}_5 G.$$

Como en el caso anterior,  $\lambda < \frac{9}{7} < \frac{51}{37}$ .

3. Supondremos ahora que algún  $T_1$  tiene cuatro vértices

terminales, a saber.  $u_1, u_2, u_3, u_4$ , cada uno de los cuales está necesariamente en  $D_1$ ; sea  $u_5$  el vértice restante de  $D_1$  en  $T_1$ , y  $w$  y  $u$  los vértices de grado tres en  $T_1$ ; obsérvese en la figura 66 que  $l \geq 0$ , se da la igualdad si  $u = w$ , en cuyo caso val  $T_1(u) = 4$ .

3a. Comencemos por el caso en el que  $u_5$  está en la trayectoria que va de  $u_1$  a  $w$  (fig. 66),

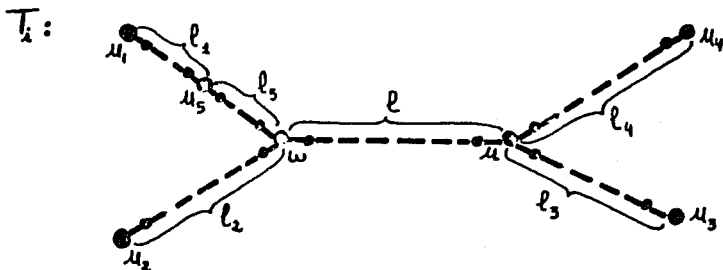


figura 66

$l_1$  representa la longitud de las trayectorias que van de  $u_1$  a  $u$ , o bien, de  $u_1$  a  $w$  en  $T_1$ , y  $l$  la longitud de la trayectoria  $wu$  (fig. 66).

Sabemos por (1), que cada una de las cantidades:  $l_1, l_5 + l_2, l_2 + l + l_4, l_5 + l + l_3$ , y  $l_3 + l_4$  es mayor que  $\frac{\lambda-1}{\lambda}$  diám<sub>5</sub>G, de aquí que  $l + l_2 + l_3 + l_4 + l_5 > \frac{2(\lambda-1)}{\lambda}$  diám<sub>5</sub>G, tenemos entonces que,  $\frac{1}{2}$  diám<sub>5</sub>G  $> q(T_1) > \left( \frac{\lambda-1}{\lambda} + \frac{2(\lambda-1)}{\lambda} \right)$  diám<sub>5</sub>G, o lo que es lo mismo,  $\frac{1}{\lambda}$  diám<sub>5</sub>G  $> q(T_1) > \left( \frac{3(\lambda-1)}{\lambda} \right)$  diám<sub>5</sub>G, y así,  $1 > 3\lambda - 3 \Rightarrow 4 > 3\lambda \Rightarrow \lambda < \frac{4}{3} < \frac{51}{37}$ .

3b. Supongamos ahora que  $u_5$  se encuentra en la trayectoria  $uw$  (fig. 67).

Cada una de las sumas de las longitudes de las trayectorias:

$l_1 + l, l_2 + l, l_1 + l_2, l_3 + l', l_4 + l',$  y  $l_3 + l_4,$

es mayor que  $\frac{\lambda-1}{\lambda} \text{diám}_5 G$ , en consecuencia,

$l_1 + l_2 + l_3 + l_4 + l + l' > \frac{6(\lambda-1)}{2\lambda} \text{diám}_5 G$ , y por (1), obtenemos:

$$\frac{1}{\lambda} \text{diám}_5 G > q(T_1) > \left( \frac{3(\lambda-1)}{\lambda} \right) \text{diám}_5 G \rightarrow 4 > 3\lambda \rightarrow \lambda < \frac{4}{3} < \frac{51}{37}.$$

$T_i$ :

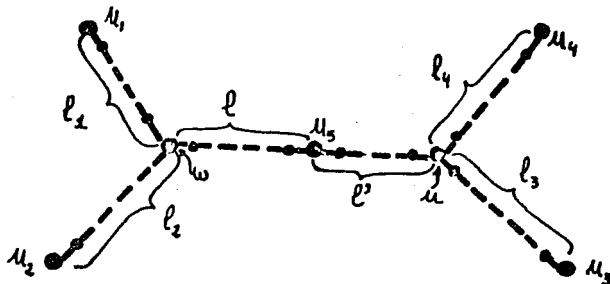
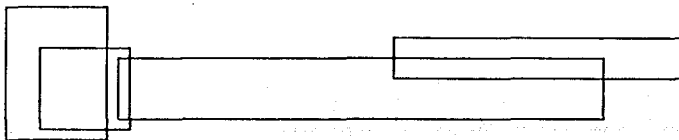


figura 67

4. Si ningún  $T_i$  es trayectoria, ni árbol con tres o cuatro vértices terminales, entonces cualquier  $T_i$  tiene exactamente cinco vértices terminales y éstos son precisamente los vértices de  $D_i = \{v_0, v_{11}, v_{12}, v_{13}, v_{14}\}$ , ( $1 \leq i \leq 5$ ).

Las posibles configuraciones de  $T_i$  las podemos observar en la figura 68; notemos que si en 68a, los tamaños de  $l$  y  $l'$  son iguales a cero obtenemos la fig. 68b; mientras que, si sólo una de las dos longitudes es cero obtenemos la fig. 68c.



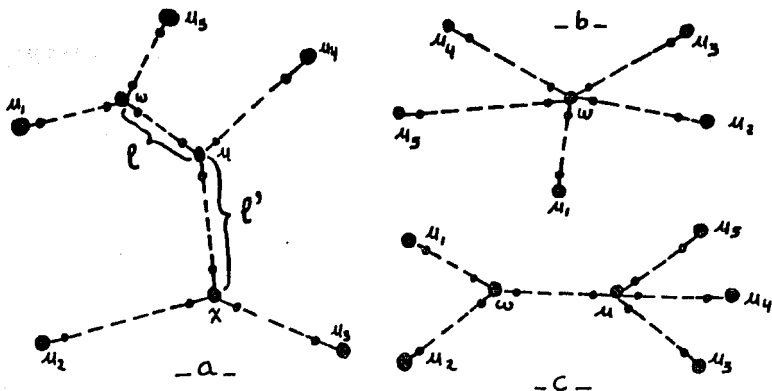


figura 68

4a. Consideremos primero el caso en que  $l > 0$  y  $l' > 0$ , y el vértice  $v_0$  se encuentre en la posición que muestra la figura 69.

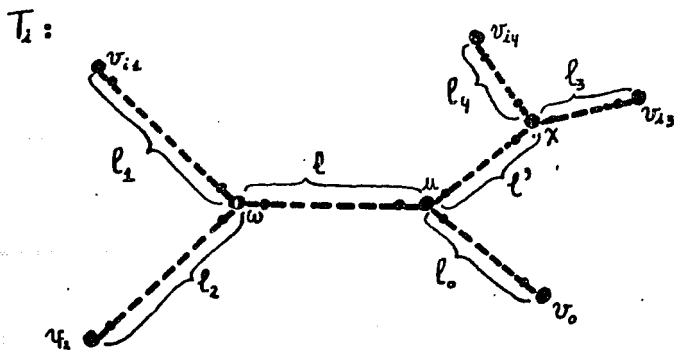


figura 69

Acotemos primero  $l_3$  de la siguiente forma, sabemos que cada una de las sumas de las longitudes:

$l_1 + l + l' + l_4$ ,  $l_4 + l' + l_0$ ,  $l_0 + l + l_2$ ,  $l_2 + l_1$ , es mayor que  $\frac{\lambda-1}{\lambda}$  diám<sub>5</sub>G (fig. 70),

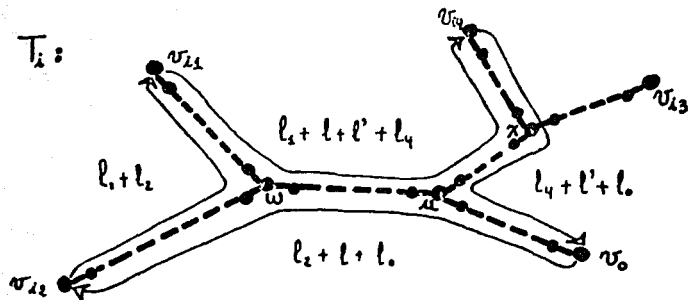


figura 70

por lo cual,  $l_1 + l_2 + l_4 + l_0 + l + l' > \frac{2(\lambda-1)}{\lambda} \text{diám}_5 G$ ,

de donde,  $\frac{1}{\lambda} \text{diám}_5 G > q(T_1) > \frac{2(\lambda-1)}{\lambda} \text{diám}_5 G + l_3$ ,

y así,  $l_3 < \frac{1}{\lambda} \text{diám}_5 G - \frac{2(\lambda-1)}{\lambda} \text{diám}_5 G$ ,

esto es,  $l_3 < \frac{3-2\lambda}{\lambda} \text{diám}_5 G$ .

Como  $l_3 + l_4 > \frac{\lambda-1}{\lambda} \text{diám}_5 G$ , entonces,  $l_4 > \frac{3\lambda-4}{\lambda} \text{diám}_5 G$ ,  
intercambiando los papeles de  $l_3$  y  $l_4$ , se obtienen las siguientes  
desigualdades para  $l_3$ :

$$\frac{3\lambda-4}{\lambda} \text{diám}_5 G < l_3 < \frac{3-2\lambda}{\lambda} \text{diám}_5 G$$

Consideremos ahora  $T_1^{(1)}$  el árbol obtenido de  $T_1$  quitándole todos  
los vértices de  $l_3$  excepto  $x$  (fig. 71), entonces,

$q(T_1^{(1)}) = q(T_1) - l_3 < \frac{1}{\lambda} \text{diám}_5 G - l_3 < \frac{1}{\lambda} - \frac{3\lambda-4}{\lambda}$ ,

esto es:  $q(T_1^{(1)}) < \frac{5-3\lambda}{\lambda} \text{diám}_5 G$ .

Acotemos ahora  $l_0$ . Al considerar  $T_1^{(1)}$  tenemos la siguiente  
situación (fig. 71):

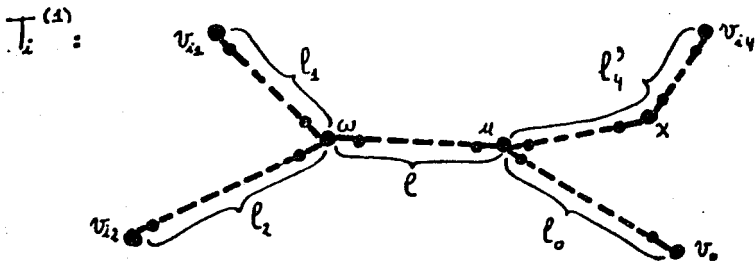


figura 71

la suma de cada una de las longitudes:  $l_1 + l_1 + l_4'$ ,

$l_4' + l_1 + l_2$ ,  $l_2 + l_1$ , es mayor que  $\frac{\lambda-1}{\lambda}$  diám<sub>5</sub>G, así que,

$$\frac{5-3\lambda}{\lambda} \text{diám}_5 G > q(T_1^{(1)}) > \frac{3(\lambda-1)}{2\lambda} \text{diám}_5 G + l_0, \text{ de donde,}$$

$$\frac{5-3\lambda}{\lambda} \text{diám}_5 G - \frac{3(\lambda-1)}{2\lambda} \text{diám}_5 G > l_0, \text{ esto es,}$$

$l_0 < \frac{13-9\lambda}{2\lambda} \text{diám}_5 G$ , como  $l_0 + l_4 > \frac{\lambda-1}{\lambda} \text{diám}_5 G$ , tenemos que:

$l_4 > \frac{11\lambda-15}{2\lambda} \text{diám}_5 G$ , intercambiando los papeles de  $l_0$  y  $l_4$  en el

argumento anterior se obtienen las siguientes desigualdades para  $l_0$ :

$$\frac{13-9\lambda}{2\lambda} \text{diám}_5 G > l_0 > \frac{11\lambda-15}{2\lambda} \text{diám}_5 G,$$

Consideremos  $l_0 > \frac{11\lambda-15}{2\lambda} \text{diám}_5 G$  para toda  $i$ , y  $T_i'$  el árbol obtenido de  $T_i$  quitándole todos los vértices de  $l_0$  excepto  $u$

(fig. 72), entonces  $q(T_i') = q(T_i) - l_0 < \left( \frac{1}{\lambda} - \frac{11\lambda-15}{2\lambda} \right) \text{diám}_5 G$ ,

esto es,  $q(T_i') < \frac{17-11\lambda}{2\lambda} \text{diám}_5 G$ .

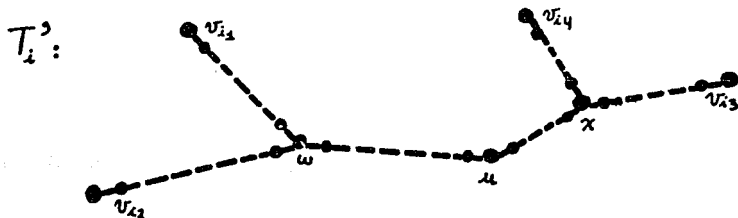


figura 72

4.b Analicemos ahora el caso restante, esto es, algún  $l$  o  $l'$  son cero, o ambas son positivas pero  $v_0$  se encuentra en un vértice terminal de  $T_1$  diferente del considerado en el caso anterior (fig. 73).

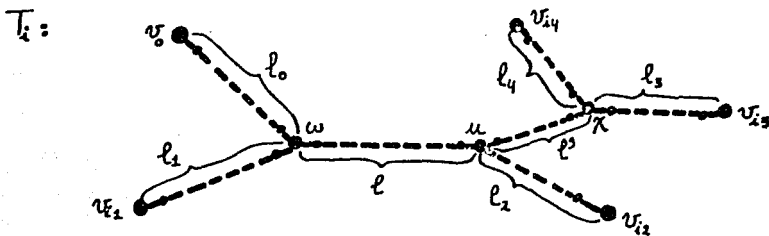


figura 73

observemos también, que la suma de las longitudes de las trayectorias:  $l_1 + l + l' + l_4$ ,  $l_1 + l + l_2$ ,  $l_2 + l' + l_3$ , y  $l_3 + l_4$ , es cada una mayor que  $\frac{\lambda-1}{\lambda}$  diám<sub>5</sub>G, de donde,

$l_1 + l_2 + l_3 + l_4 + l + l' > \frac{2(\lambda-1)}{\lambda}$  diám<sub>5</sub>G, por lo tanto, y como se ha procedido en ocasiones anteriores:

$l_0 < \left( \frac{1}{\lambda} - \frac{2(\lambda-1)}{\lambda} \right)$  diám<sub>5</sub>G, esto es,  $l_0 < \frac{3-2\lambda}{\lambda}$  diám<sub>5</sub>G, y como:

$l_0 + l_1 > \frac{\lambda-1}{\lambda}$  diám<sub>5</sub>G, tenemos que,  $l_1 > \left( \frac{\lambda-1}{\lambda} - \frac{3-2\lambda}{\lambda} \right)$  diám<sub>5</sub>G,

entonces,  $l_1 > \frac{3\lambda-4}{\lambda}$  diám<sub>5</sub>G.

Intercambiando los roles de  $l_0$  y  $l_1$  en el argumento anterior obtenemos las siguientes desigualdades para  $l_0$ :

$$\frac{3-2\lambda}{\lambda} \text{ diám}_5 G > l_0 > \frac{3\lambda-4}{\lambda} \text{ diám}_5 G$$

Tomemos  $T'_1$  como siempre, y supongamos que para toda  $i \in \{1, 2, 3, 4, 5\}$ ,  $l_0 > \frac{3\lambda-4}{\lambda}$  diám<sub>5</sub>G, entonces,

$$q(T'_1) < \left( \frac{1}{\lambda} - \frac{3\lambda-4}{\lambda} \right) \text{ diám}_5 G = \frac{5-3\lambda}{\lambda} \text{ diám}_5 G;$$



$$q(T'_{11}) + q(T'_{12}) + q(T'_{13}) + q(T'_{14}) + 2q(T'_1) \geq 4 \text{ diám}_S G,$$

y en consecuencia,

$$\frac{6(17-11\lambda)}{2\lambda} \text{ diám}_S G > q(T'_{11}) + q(T'_{12}) + q(T'_{13}) + q(T'_{14}) + 2q(T'_1) \\ \geq 4 \text{ diám}_S G, \text{ de donde,}$$

$$3(17 - 11\lambda) > 4\lambda \Rightarrow 51 - 33\lambda > 4\lambda \Rightarrow 51 > 37\lambda \Rightarrow \lambda < \frac{51}{37}.$$

Con lo cual el teorema queda demostrado.  $\square$

**4.7 Corolario.**  $\psi(5) \leq \frac{51}{37}.$

## CAPITULO V

### EL TEOREMA DE V. NEUMANN LARA

A continuación se demostrará que para toda  $n$ ,  $\psi(n) \leq 1 + \frac{2}{n}$ . Como se habrá podido observar en las demostraciones precedentes, el número de casos a considerar para una  $n$  fija aumenta conforme  $n$  crece, por ejemplo para  $n = 6$  tendríamos que considerar al menos 9 casos dependiendo de la cardinalidad de  $\text{Ter}(T_1)$  y de las posibles combinaciones para colocar los vértices restantes del conjunto definido como  $D_1$  en  $T_1$ , para  $n = 7$  al menos tendríamos que considerar 11 casos. Así pues, la cantidad de estas posibles combinaciones es difícil de manejar para "cualquier  $n$  que sea muy grande". Por este motivo, haremos uso de la proposición 5.1 pues facilita que una parte de la técnica con la que hemos trabajado en las demostraciones del capítulo 4 se pueda generalizar.

#### 5.1 Proposición

Sea  $T$  un árbol con  $r$  vértices terminales y  $U \subseteq V(T)$  que contiene a todos los vértices terminales de  $T$ ,  $|U| = n$ , entonces existe una colección de trayectorias en  $T$  que satisface lo siguiente:

- i. Cada trayectoria tiene exactamente dos vértices en  $U$ , los cuales son sus extremos.
- ii. Cada arista de  $T$  aparece exactamente en dos trayectorias de la colección.

**Demostración:**

Sea  $T$  un árbol con  $r$  vértices terminales, sea  $U \subseteq V(T)$ ,  $|U| = n$  y  $\text{Ter}(T) \subseteq U$ . Consideremos  $T_1$  la gráfica con aristas paralelas obtenida a partir de  $T$ , duplicando cada una de sus aristas.

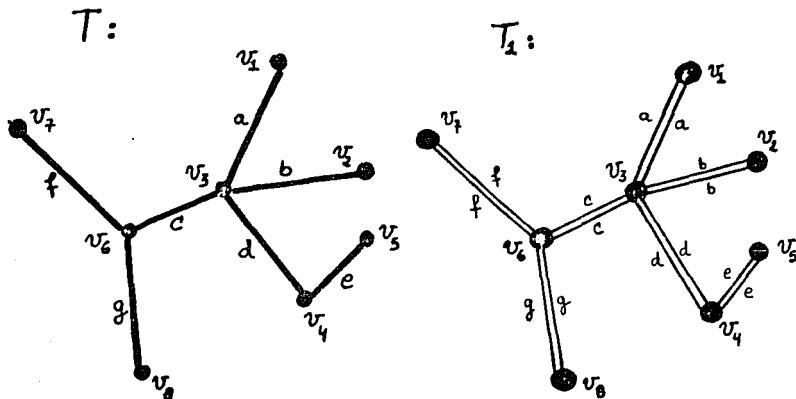
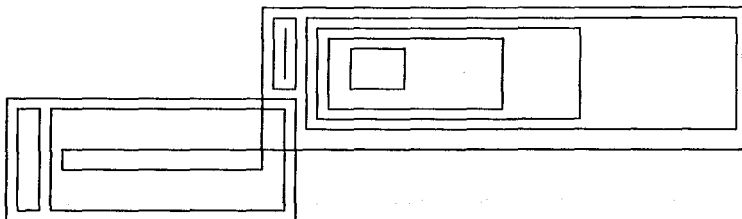


figura 75

$T_1$  es una gráfica conexa cuyos vértices tienen valencia par, por lo tanto es euleriana y en consecuencia contiene un paseo euleriano (Teorema 2.5). Imaginemos ahora que todas las aristas de  $T_1$  son de elástico y que en cada uno de sus vértices  $v_i$  ponemos "tantos vértices" como la valencia de  $v_i$  en  $T$  (fig.76).



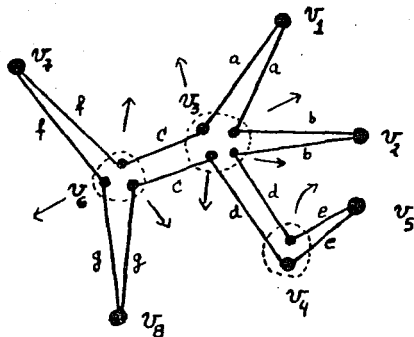


figura 76

Jalemos ahora todos los vértices como lo indican las flechas en la figura anterior hasta formar un ciclo C (fig. 77); observemos que cada vértice de T "se ha desdoblado en C" tantas veces como su valencia y que cada arista de T "se ha desdoblado" exactamente dos veces<sup>9</sup>.

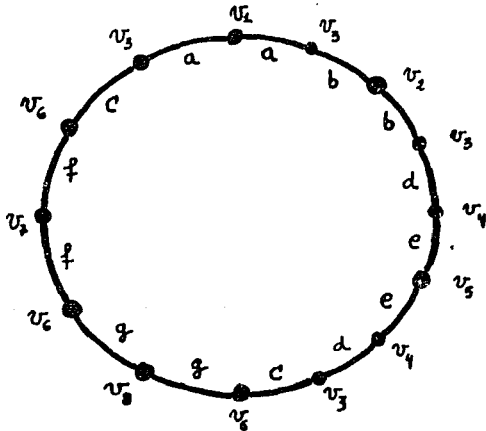


figura 77

Coloquémonos en el vértice  $v_1$  de C (de hecho podemos situarnos en

<sup>9</sup> Formalmente esto se puede demostrar por inducción sobre el número de vértices de T, o bien, usando el paseo euleriano en  $T_1$ .

cualquier vértice de  $C$ ) y recorramos el ciclo en el sentido de las manecillas del reloj hasta llegar nuevamente a  $v_1$ , marquemos la dirección en cada una de las aristas con flechas (fig.78). Llamemos a este paseo  $\Pi$ .

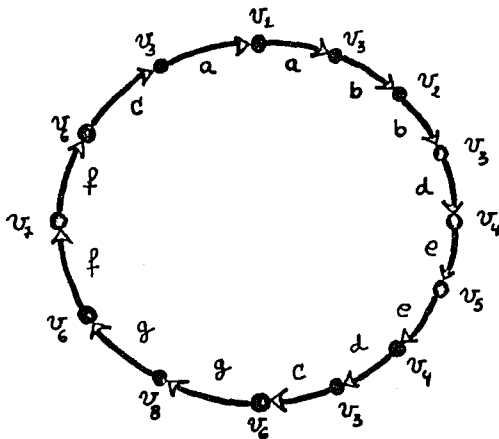


figura 78

"Si nos regresáramos a  $T_1$ " obtendríamos la siguiente figura:

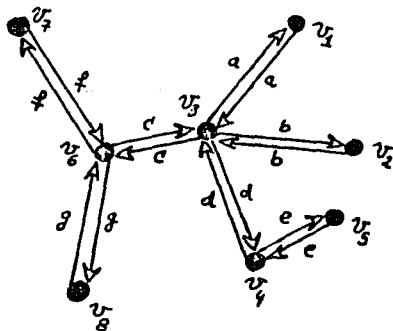


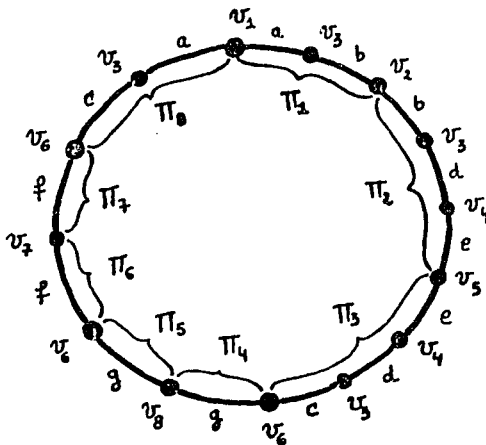
figura 79

notemos que el paseo  $\Pi$  en  $C$ , es en  $T_1$  un paseo euleriano.

Hagamos la siguiente partición de  $\Pi$ :  $\Pi = \bigcup_1^n \Pi_1$  (para efectos del ejemplo con el que hemos estado trabajando supondremos que  $\mathcal{U} = \text{Ter}(T) \cup \{v_6\}$ ):

1. Iniciemos  $\Pi_1$  en el vértice  $v_1$ , donde iniciamos  $\Pi$ .
2. Recorramos  $\Pi_1$  en el mismo orden en que recorrimos  $\Pi$ , deteniéndonos en el primer vértice  $w$  de  $\mathcal{U}$  que encontremos, ese paseo será  $\Pi_1$ .
3.  $\Pi_2$  tendrá como inicio a  $w$ , e incluye a todas las aristas que encontremos al recorrer  $\Pi$ , hasta encontrar el siguiente vértice de  $\mathcal{U}$ .
4. Y así sucesivamente hasta obtener  $\Pi_n$  que terminará en  $v_1$ .

Lo anterior podemos observarlo en las figuras 80 y 81 (nótese que ninguna  $\Pi_1$  tiene a las dos aristas de  $C$  que corresponden a la misma arista de  $T$ , pues para esto  $\Pi_1$  tendría que contener un vértice terminal en su interior, lo cual está prohibido).



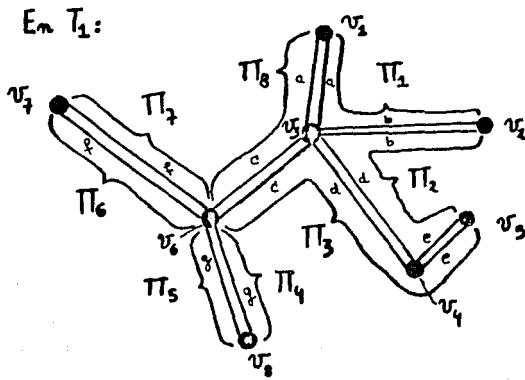


figura 81

Para cada  $i$ , sea  $\pi'_i$  la trayectoria en  $T$  que corresponde a la trayectoria  $\pi_i$  de  $T_1$ .

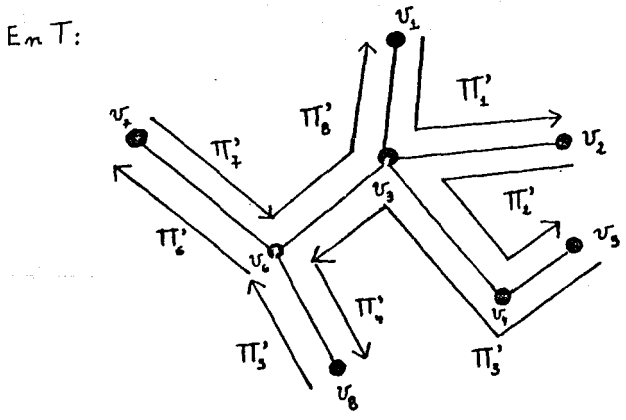


figura 82

Es claro si observamos  $C$  (fig. 80), que las trayectorias  $\pi_i$  son ajenas en aristas dos a dos, que cada trayectoria tiene como extremos vértices de  $\mathcal{U}$  y ningún vértice de  $\mathcal{U}$  en su interior, lo que demuestra el inciso  $i$  para la colección de trayectorias  $\pi'_i$  en  $T$ .

Observemos ahora la figura 81, donde se representan las trayectorias  $\Pi_i$  en  $T_1$ . Como: 1)  $\Pi$  recorre a  $C$  exactamente una vez; 2) en  $C$  "aparece cada arista de  $T$ " exactamente dos veces y, 3) las trayectorias  $\Pi_i$  nos dan una partición de las aristas de  $C$  de tal manera que ninguna trayectoria  $\Pi_i$  tiene a las dos aristas de  $C$  que corresponden a la misma arista de  $T$ , entonces, la colección formada por las trayectorias  $\Pi'_i$  satisface el inciso 11.

Todo lo cual, demuestra la proposición 5.1.0

## 5.2 Teorema [V. Neumann-Lara]

Sea  $n \geq 2$  un entero y  $G$  una gráfica conexa de orden  $p \geq n$ , entonces:

$$\text{diám}_n G \leq \left(1 + \frac{2}{n}\right) \text{rad}_n G.$$

Demostración:

Sea  $G$  una gráfica conexa de orden  $p \geq n$ . Sea  $\lambda \in \mathbb{R}$ , tal que:

$$\text{diám}_n G > \lambda \text{rad}_n G. \quad (1)$$

Veremos que  $\lambda < 1 + \frac{2}{n}$ . Tomaremos  $\lambda > 0$ , de otro modo no hay nada que hacer.

Sea  $D = \{v_1, v_2, \dots, v_n\} \subseteq V(G)$  que realiza el  $n$ -diámetro de  $G$ .

Sea  $v_0 \in C_n(G)$ , esto es:  $e_n(v_0) = \text{rad}_n G$ .

Sea  $T_1$  un árbol de Steiner para  $D_1 = (D - \{v_1\}) \cup \{v_0\}$ ,  $1 \leq i \leq n$ .

Entonces  $q(T_1) \leq \text{rad}_n G$  (ya que  $v_0 \in V(T_1)$  y  $e_n(v_0) = \text{rad}_n G$ ).

Por (1), tenemos que  $q(T_1) < \frac{1}{\lambda} \text{diám}_n G$ . (2)

Si unimos "la" trayectoria más corta de  $v_1$  a  $T_1$  con  $T_1$ , obtenemos un árbol que contiene a  $D$  y por lo tanto de tamaño al menos  $\text{diám}_n G$ , esto es,  $q(T_1) + d(v_1, T_1) \geq \text{diám}_n G$ , de donde,

$d(v_1, T_1) \geq \text{diám}_n G - q(T_1)$ , junto con (2) obtenemos que,

$d(v_1, T_1) > \frac{\lambda-1}{\lambda} \text{diám}_n G$ , y así,

$d(v_1, v_j) > \frac{\lambda-1}{\lambda} \text{diám}_n G$ ,  $0 \leq j \leq n$ ,  $j \neq 1$ . (3)

Supongamos que algún  $T_1$  tiene exactamente  $r$  vértices terminales. Por la proposición 5.1, si tomamos  $\mathcal{U} = D_1$ , existe una colección de trayectorias  $\Pi_1$ , cada una de las cuales tiene exactamente dos vértices en  $D_1$ , los cuales son sus extremos, y cada arista de  $T_1$  aparece exactamente en dos trayectorias de la colección. Por (3)  $q(\Pi_1) > \frac{\lambda-1}{\lambda} \text{diám}_n G$ .

Por cada vértice terminal  $v$  en  $T_1$ , hay una trayectoria  $\Pi_j$  que empieza en  $v$ , mientras que, por cada vértice  $w$  en  $D_1$  que no sea vértice terminal de  $T_1$ , hay al menos dos trayectorias  $\Pi_j$  que empiezan en  $w$  (fig. 80). Así que, tendremos  $r$  trayectorias que se inician en vértices terminales y al menos  $2(n-r)$  trayectorias que se inician en vértices de  $D_1 - \text{Ter}(T_1)$ ; todas ellas de longitud mayor que  $\frac{\lambda-1}{\lambda} \text{diám}_n G$ , por consiguiente:

$$\frac{2}{\lambda} \text{diám}_n G > 2 q(T_1) = \sum_1^n q(\Pi_1) > (r + 2(n-r)) \frac{(\lambda-1)}{\lambda} \text{diám}_n G,$$

de donde,  $\frac{2}{\lambda} > (r + 2(n-r)) \frac{(\lambda-1)}{\lambda}$ , y de aquí,

$$2 > (r + 2(n-r)) (\lambda - 1) \Rightarrow 2 > (r + 2n - 2r)(\lambda - 1) \Rightarrow$$

$$2 > (2n-r)(\lambda-1) \Rightarrow 2 > \lambda(2n-r) - (2n-r) \Rightarrow$$

$$2 + (2n-r) > \lambda(2n-r) \Rightarrow \lambda < \frac{2+(2n-r)}{2n-r} \Rightarrow$$

$$\lambda < 1 + \frac{2}{2n-r} \leq 1 + \frac{2}{n}, \text{ pues } 2 \leq r \leq n.$$

Con lo cual queda demostrado lo que se quería.  $\square$

Usando el teorema 4.1, se obtiene:

**5.3 Corolario.**  $\frac{2(n+1)}{2n-1} \leq \psi(n) \leq 1 + \frac{2}{n}$ .

La cota superior puede ser mejorada usando un método que generaliza el empleado para probar el caso  $n = 5$ . No incluimos el resultado ya que su prueba es demasiado técnica.

## BIBLIOGRAFIA

[1]. Bondy, J. A. *Graph Theory with Applications*, Londres, Macmillan, 1976, 264 pp.

[2]. Buckley, Fred; Zevi Miller y Peter J. Slater. "On Graphs Containing a Given Graph as Center", en *Journal of Graph Theory*, vol. 5, 1981, pp. 427-434.

[3]. Chartrand, O. R. Oellermann, S. Tian, H. B. Zou. "Generalized Distance in Graphs", publicación preliminar.

[4]. Geivaerts, Marcel. "A Characterization of Uniform Hypergraphs".

[5]. Harary, Frank. *Graph Theory*, EUA, Reading-Addison-Wesley, 1969, 274 pp. (más ils.).

[6]. Henning, Michael A., Ortrud R. Oellermann y Henda C. Swart. "On the Steiner Radius and Steiner Diameter of a Graph", publicación preliminar.

[7]. Neumann L., Victor. *Introducción a la teoría de gráficas*, México, Departamento de Matemáticas de la Facultad de Ciencias-UNAM, Centro de Investigaciones y Estudios Avanzados del IPN, 1985, 75 pp.

[8]. Oellermann, Ortrud R. y Songlin Tian. "Steiner Centers in Graphs", en *Journal of Graph Theory*, vol. 14, núm. 5, 1990, pp. 585-597.

# INDICE DE ENUNCIADOS

## CAPITULO

II		III		IV		V	
ENUNCIADO	PÁG	ENUNCIADO	PÁG	ENUNCIADO	PÁG	ENUNCIADO	PÁG
2.1 (T)	16	3.1 (L)	24	4.1 (T)	63	5.1 (P)	85
2.2 (T)	16	3.2 (L)	25	4.2 (P)	64	5.2 (T)	91
2.3 (T)	17	3.3 (L)	26	4.3 (C)	67		
2.4 (T)	17	3.4 (L)	27	4.4 (P)	67		
2.5 (T)	18	3.5 (L)	28	4.5 (C)	73		
		3.6 (L)	29	4.6 (P)	73		
		3.7 (T)	32	4.7 (C)	83		
		3.8 (T)	33				
		3.9 (P)	42				
		3.10 (L)	42				
		3.11 (L)	44				
		3.12 (L)	44				
		3.13 (P)	46				
		3.14 (L)	46				
		3.15 (L)	49				
		3.16 (L)	51				
		3.17 (L)	53				
		3.18 (L)	58				

(L): LEMA

(P): PROPOSICIÓN

(T): TEOREMA

(C): COROLARIO